Polyarthrite rhumatoïde Quels traitements pour quels patients?

Jérôme Avouac

Université de Paris, Service de Rhumatologie et INSERMU1016, Hôpital Cochin, AP-HP.CUP, Paris















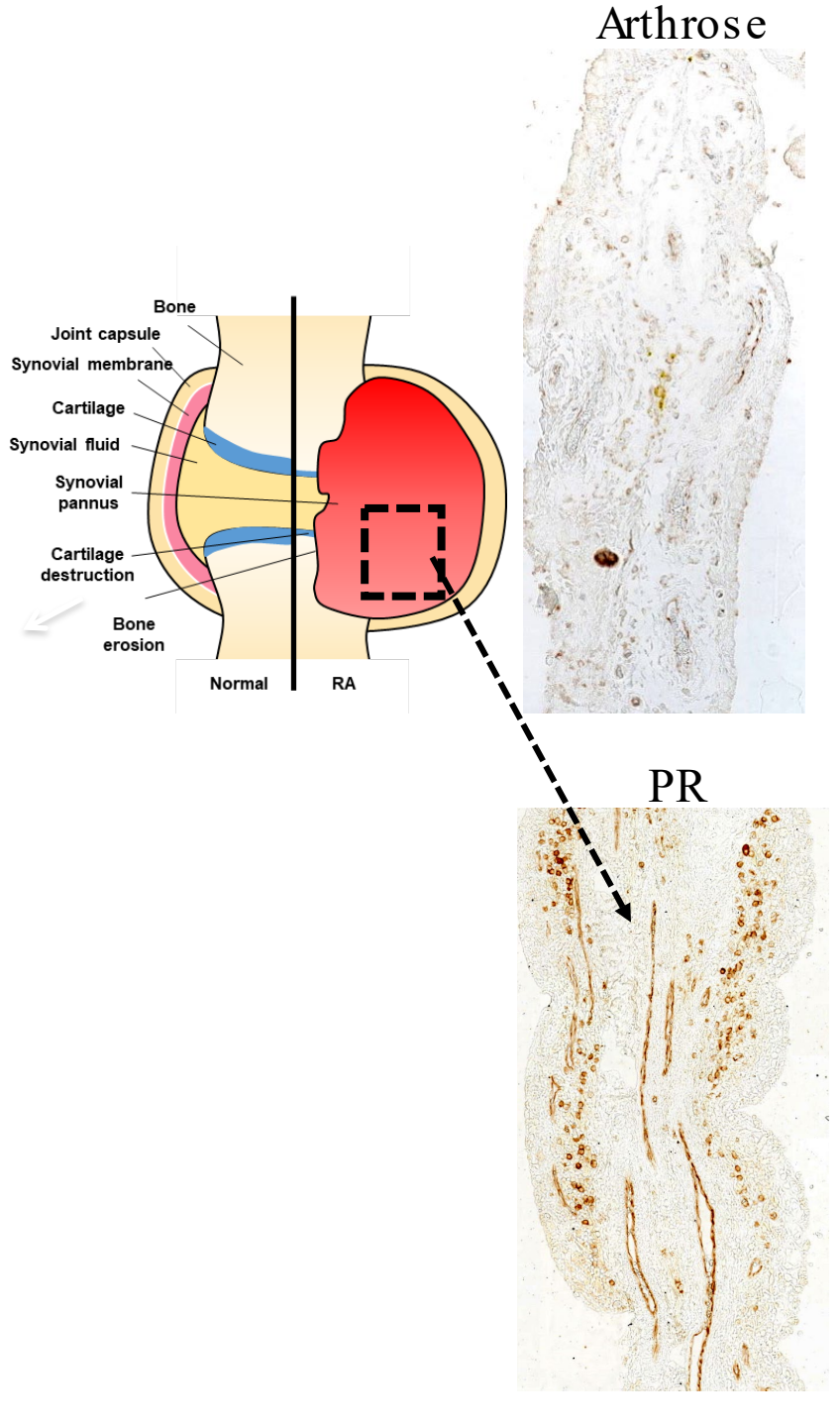


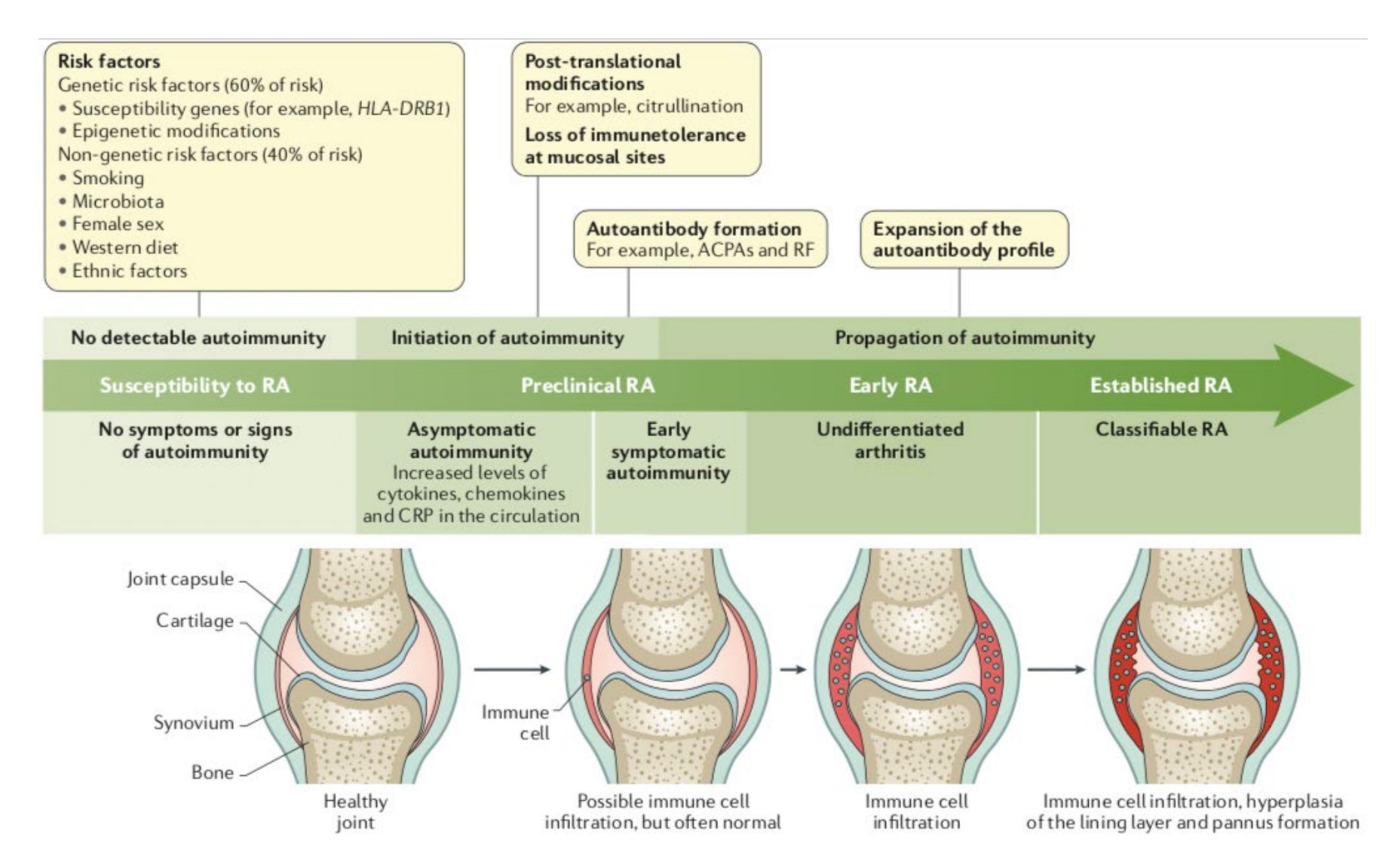
Liens d'intérêt

- Intérêts financiers : non
- Liens durables ou permanents : non
- Subventions de recherche: Pfizer Bristol Myers Squibb, Fresenius Kabi, Novartis, Galapagos/Alfasigma, Nordic Pharma
- Interventions ponctuelles: Pfizer, Bristol Myers Squibb Celgene, UCB, Roche, Nordic, Novartis, Sanofi, Boehringer, Abbvie, Chugai, Galapagos, Biogen, Fresenius Kabi, Sandoz, Medac, Celltrion, Janssen, Amgen

Polyarthrite rhumatoïde







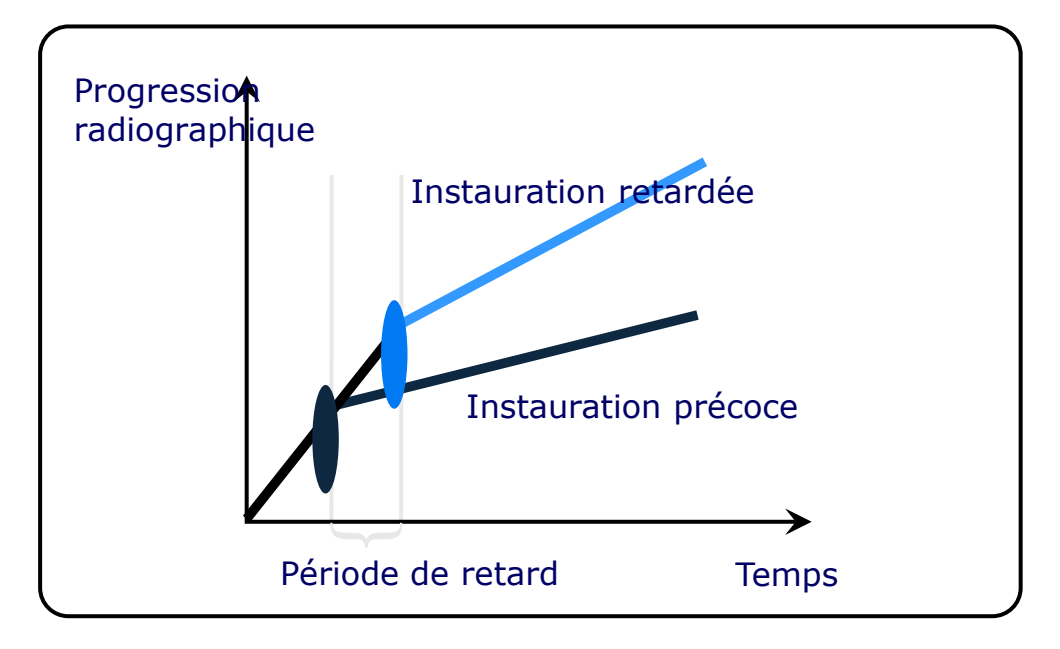
Smolen et al. Nature Reviews Disease Primers 2018

Enjeux

- 1. Diagnostic précoce pour
- 2. Traiter tôt

concept de fenêtre d'opportunité thérapeutique

Limiter/prévenir l'évolution de l'atteinte structurale

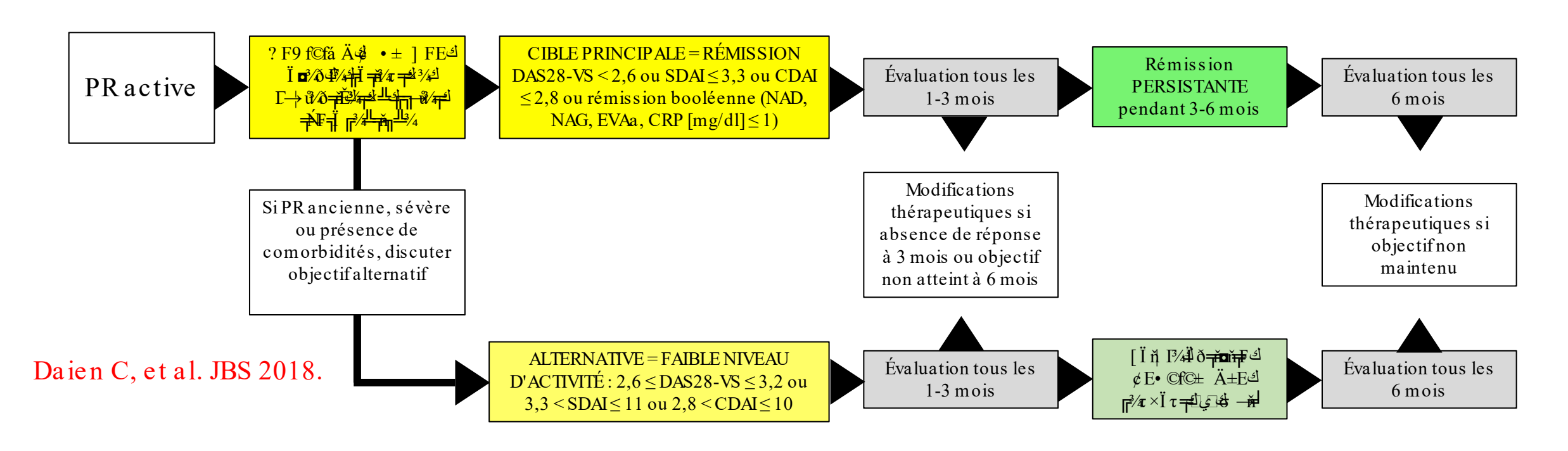


Retard thérapeutique =
augmentation
dégradation radio et de
sa vitesse

Paradigme de prise en charge dans la PR SfR



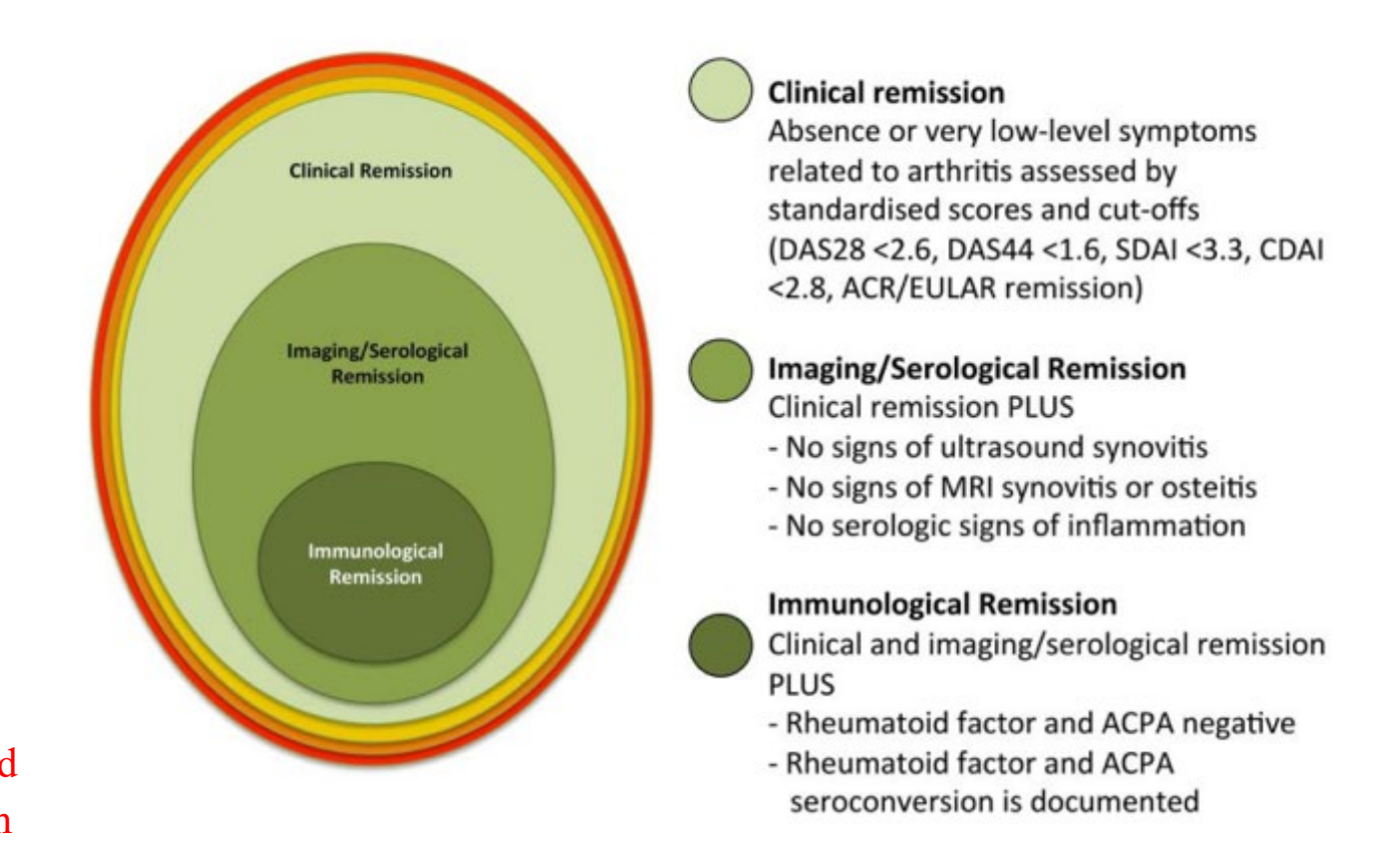
Tight Control & Treat to Target



SFR 2023	Accord
L'objectif du traitement est d'atteindre et de maintenir la <u>rémission clinique</u> ou au minimum la faible activité, sur la base de <u>critères composites validés</u> , incluant	85%
les indices articulaires.	$9,7 \pm 0,7$
Niveau de Preuve la / Grade A	

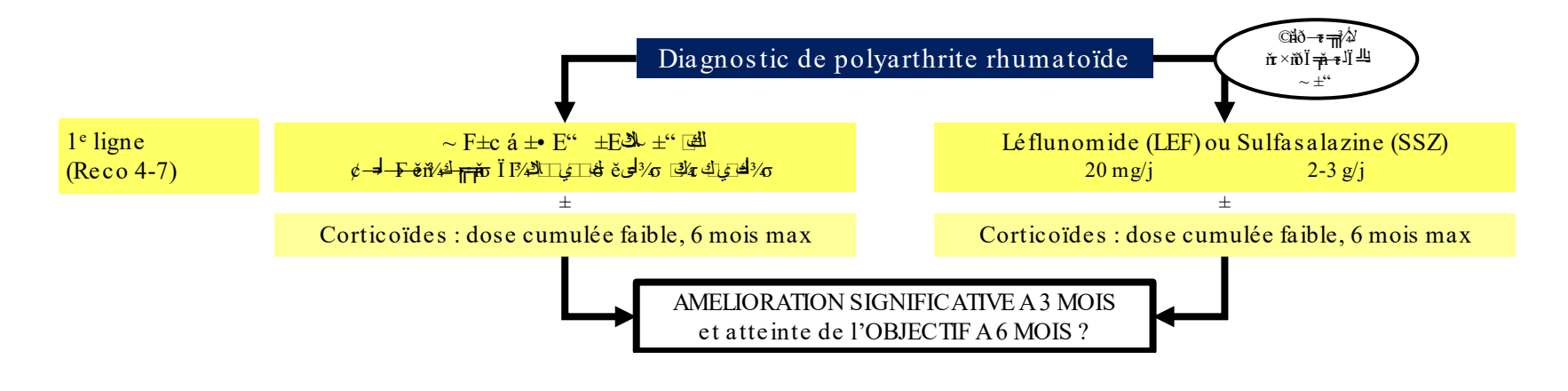
Paradigme de prise en charge dans la PR

- «Polyarthrite rhumatoïde : une urgence médicale »
- «Il est temps de viser la rémission »



Weinblatt ME, Ann Int Med Schett Get al, Ann Rheum





6. Le méthotrexate est le traitement de fond de première ligne chez les patients ayant une PR active avec une posologie initiale d'au moins 10 mg/semaine et une posologie optimale atteinte au maximum en 4 à 8 semaines

SFR 2023	Accord
Le méthotrexate (MTX) est le traitement de fond de première ligne chez les	85%
patients ayant une PR active avec une posologie initiale d'au moins 15	
mg/semaine, pouvant être optimisée jusqu'à 25-30 mg/semaine entre 1 et 3	$9,5 \pm 1,0$
mois en fonction du poids du patient, de l'efficacité et de la tolérance du	
MTX	
Niveau de Preuve la / Grade A	

Recommandation 8

8. Dans l'attente de l'efficacité d'un traitement de fond synthétique conventionnel, une corticothérapie orale ou injectable peut être proposée en respectant une dose cumulée faible, si possible sur une période maximale de 6 mois. La corticothérapie sera diminuée et arrêtée aussi rapidement que possible

SFR 2023	Accord
Dans l'attente de l'efficacité d'un traitement de fond synthétique	85%
conventionnel, une corticothérapie orale ou injectable peut être proposée	
par le rhumatologue.	$9,3 \pm 1,2$
La corticothérapie sera prescrite à la dose la plus faible possible sur une	
durée la plus courte possible, arrêtée au maximum entre 3 et 6 mois.	
Niveau de Preuve la / Grade B	

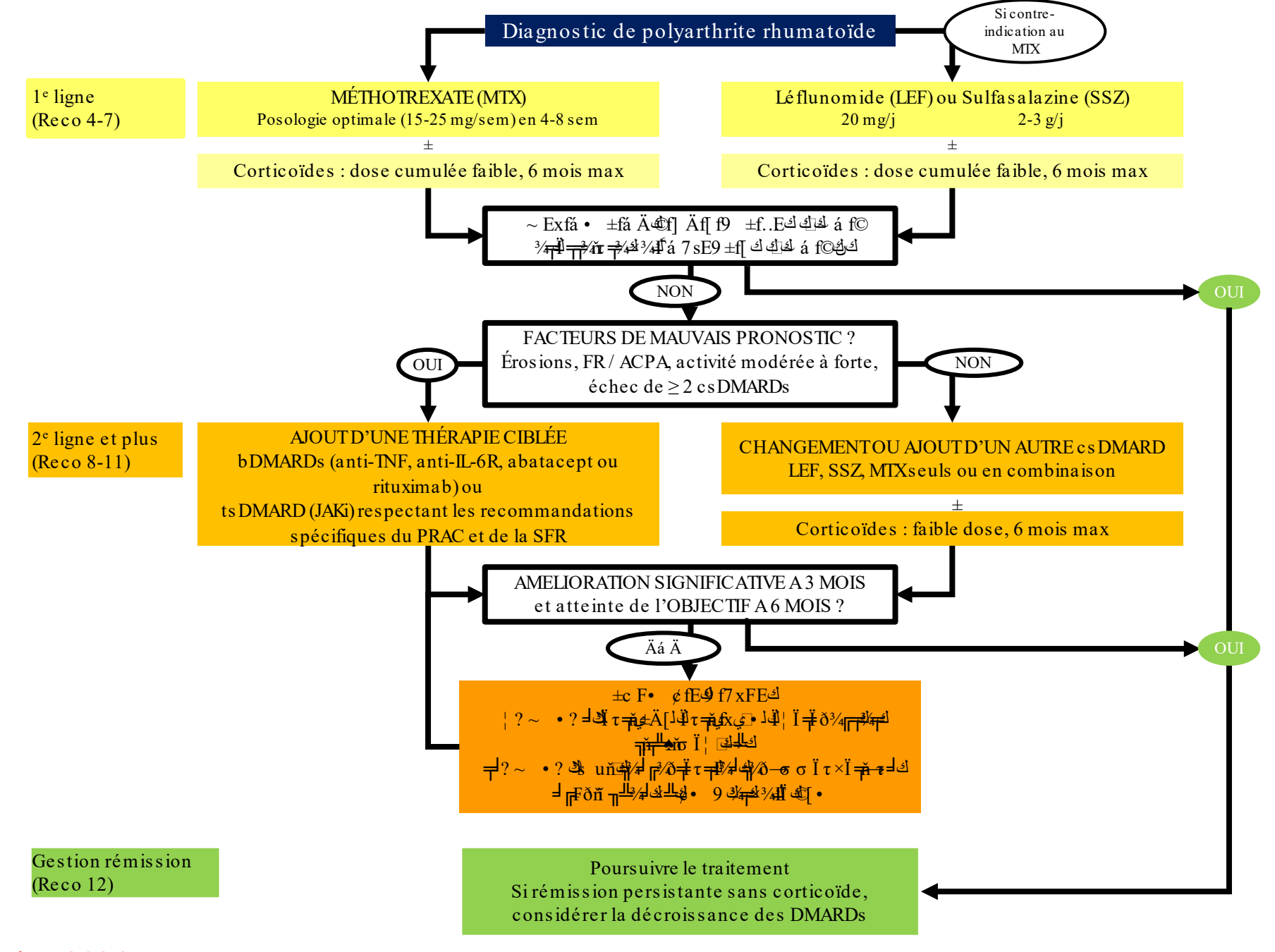
Recommandation 10

9. Chez les patients insuffisamment répondeurs ou intolérants au MTX, le traitement doit être optimisé

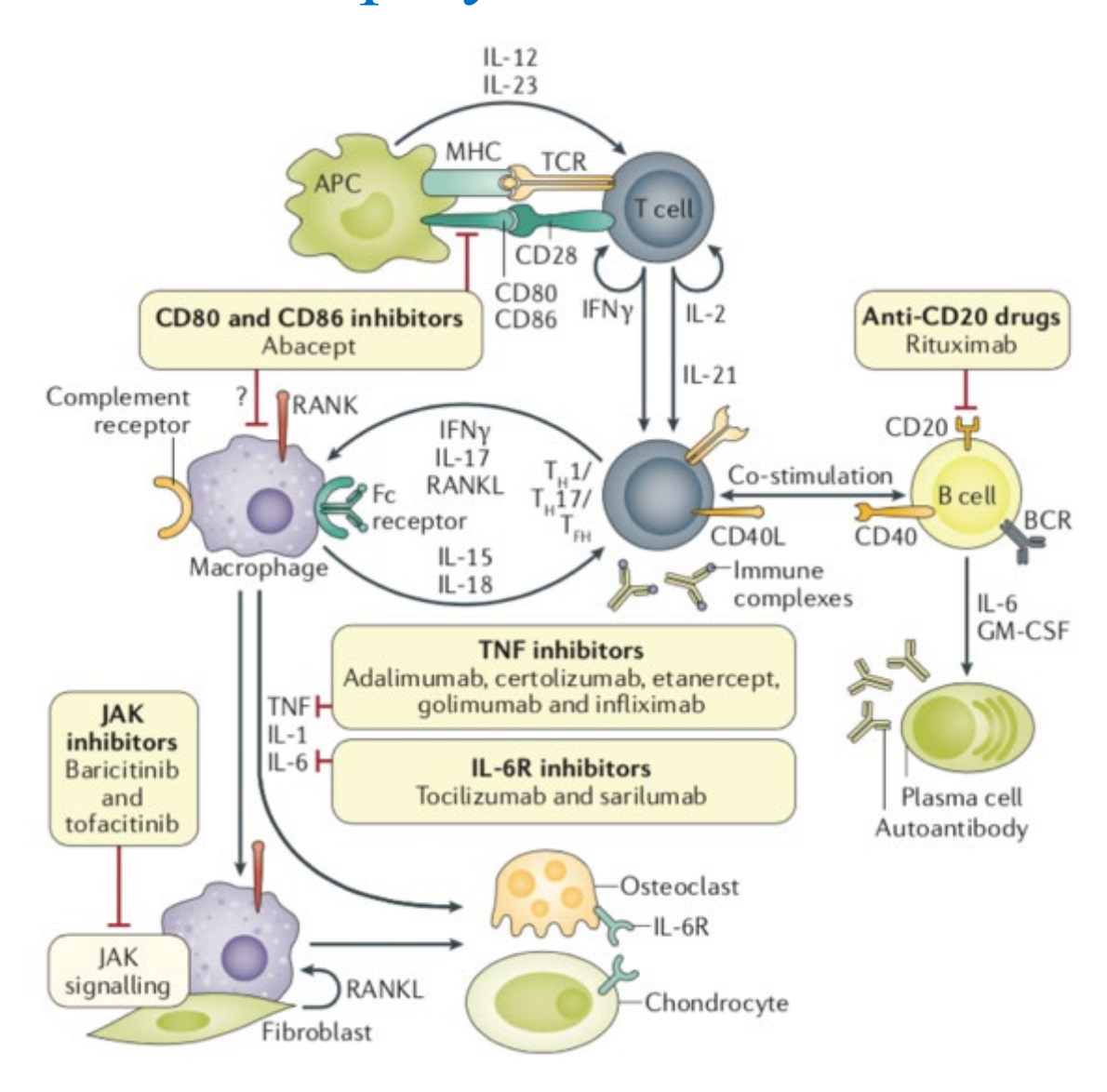
En présence de facteurs de mauvais pronostic, l'addition d'une thérapeutique ciblée (biologique ou synthétique) peut être proposée (anti-TNF, abatacept, inhibiteur de la voie de l'IL6, inhibiteurs de JAK et dans certaines circonstances rituximab)#

SFR 2023	Accord
Chez les patients insuffisamment répondeurs au MTX (ou autre cs DMARD	85%
de 1ère ligne) et en présence de facteurs de mauvais pronostic, <u>l'addition</u>	
d'une thérapeutique ciblée biologique ou synthétique doit être proposée.	$9,7 \pm 0,6$
La prescription d'un inhibiteur de JAK doit respecter les recommandations	
dédiées du <u>PRAC et de la SFR</u> .	
Niveau de Preuve Ib / Grade A	





Traitements ciblés de la polyarthrite rhumatoïde



Choix en fonction des lignes thérapeutiques

- Première ligne de biothérapie: presque toujours un anti-TNF
 - Expérience clinique majeure de plus de 20 ans
 - Efficacité robuste et rapide
 - Formes SC et IV
 - Profil de tolérance connu
 - Facilité et couts (biosimilaires)
 - Consensus national et international

• Problématique de la seconde ligne thérapeutique

$\phi_{\uparrow} = \dot{\eta} + \dot{\eta} +$

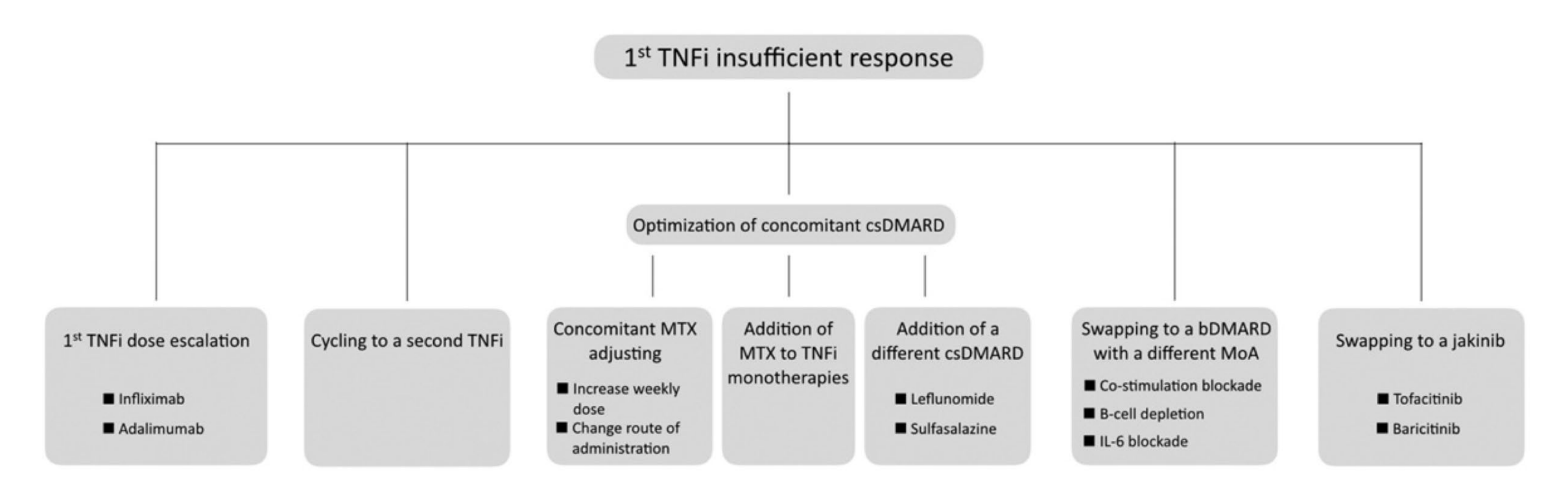


Fig. 1. Options for the management of first TNFi failures.

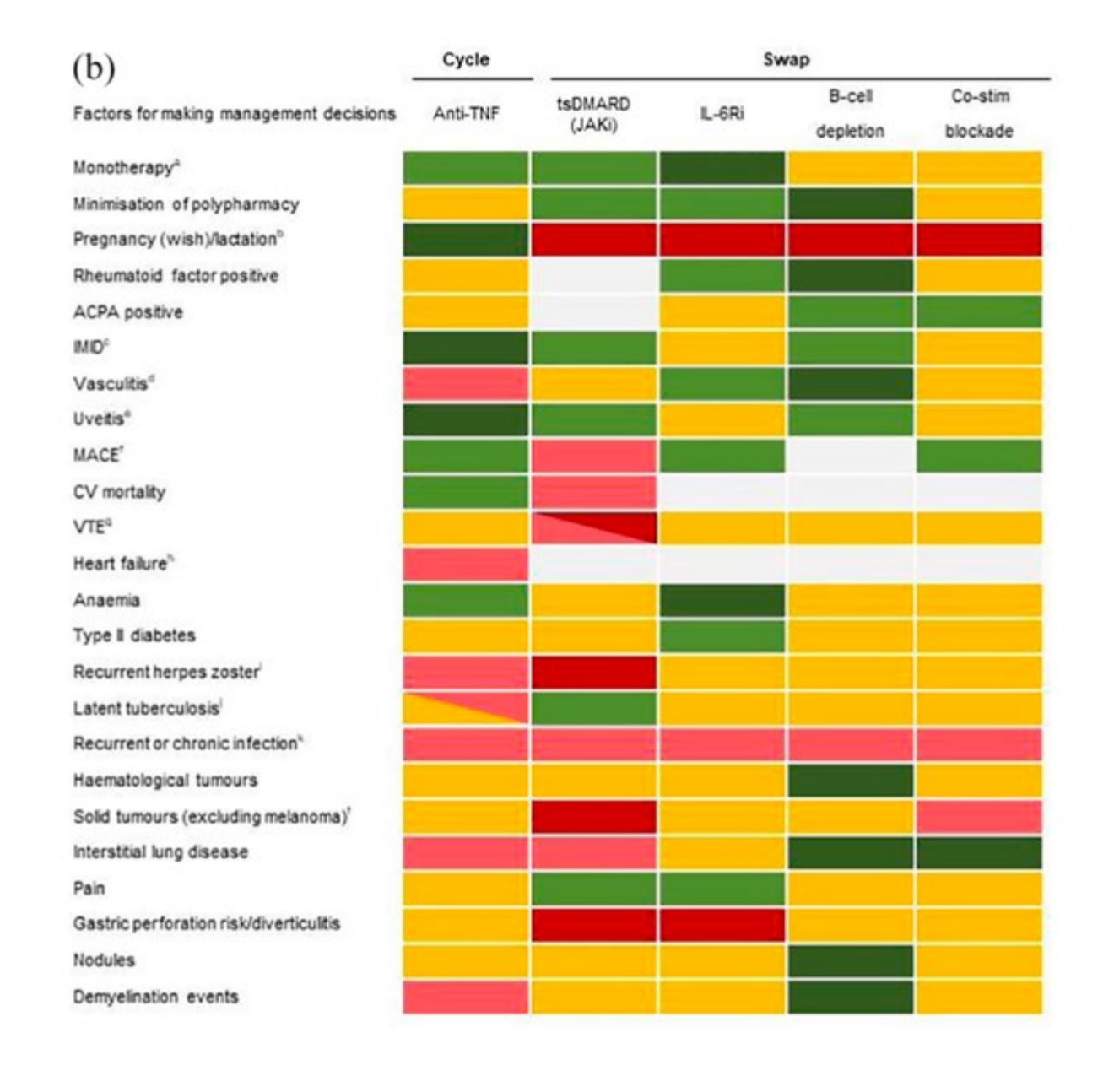
Managing inadequate response to initial anti-TNF therapy in rheumatoid arthritis: optimising treatment outcomes

Peter C. Taylor, Marco Matucci Cerinic, Rieke Alten, Jérôme Avouac and Rene Westhovens

Stratégie prédictive de personnalisation de l'approche afin d'optimiser la réponse

Demande une évaluation fine

- De la maladie articulaire et systémique
- Des comorbidités





ACPA et réponse au rituximab et à l'abatacept

Table 2 Summary of published studies assessing the effect of biologic therapies in RA according to patients ACPA status

References	Study design	Pepulation	Outcomes	Results
de Lemos et al. [9]	SLR and meta-analysis	n = 6 RCT, $n = 2139$ RA	ACPA, RF levels	>Response to treatment in ACPA ⁺ patients than ACPA ⁻ patients
		RTX	Disease activity variables	Heterogeneity
Isaacs et al. [8]	Meta-analysis	n = 4 RCT, $n = 2177$ RA	ACPA, RF levels	>Response to treatment in ACPA ⁺ patients than ACPA ⁻ patients
		RTX	Disease activity variables	Heterogeneity
Sellam et al. [152]	Observational prospective (24 w)	Established RA ($n = 208$) refractory to anti-TNF α	ACPA, RF levels	ACPA ⁺ and RF ⁺ predicted good response to RTX
		RTX	Disease activity variables	
Chatzidionysiou et al. [153]	CERRERA study	n = 10 European biologics registries, n = 2019 RA	ACPA, RF levels	ACPA+ predicted good response to RTX
	Observational prospective (6 m)	RTX	Disease activity variables	
Couderc et al. [155]	Observational prospective (6 m)	Established RA ($n = 64$) refractory to DMARD	ACPA, RF levels	ACPA ⁺ predicted good response to RTX
		RTX	Disease activity variables	
Gardette et al. [156]	Observational retrospective (6 m)	Established RA ($n = 114$) refractory to DMARD	ACPA levels	ACPA ⁺ (high titers) predicted good response to RTX
		RTX	Disease activity variables	
Narvaez et al. [154]	Observational prospective (6 m)	Established RA ($n = 108$) refractory to DMARD	ACPA levels	ACPA ⁺ (high titers) predicted good response to RTX
		RTX	Disease activity variables	
Quartuccio et al. [157]	Observational retrospective (6 m)	Established RA ($n = 110$) refractory to DMARD	ACPA levels	ACPA did not predict response to RTX
		RTX	Disease activity variables	
Gottenberg et al. [110]	Orencia and Rheumatoid Arthritis (ORA) prospective registry (6 m)	Established RA ($n = 773$) refractory to DMARD	ACPA levels	ACPA ⁺ predicted good response to ABA and higher retention rate
		ABA	Disease activity variables	
			Drug retention	
Scarsi et al. [183]	Observational prospective (6 m)	Established RA $(n = 30)$	ACPA levels	ACPA+ predicted good response to ABA
		ABA	Disease activity variables	
Nusslein [178]	Prospective cohort (2 years)	Established RA ($n = 834$) refractory to DMARD	ACPA levels	ACPA ⁺ predicted higher retention rate
		ABA	Drug retention	
Sokolove et al. [12]	Prospective cohort (2 years)	Established RA ($n = 646$) refractory to DMARD	ACPA levels	ACPA ⁺ was associated with a better response to ABA and ADA
		ABA versus ADA	Disease activity variables	Patients with the highest baseline ACPA had better clinical response with ABA (no with ADA) than patients with lower concentrations

RA rheumatoid arthritis, ACPA anti-cyclic citrullinated peptide antibodies, w week, SLR systematic literature review, m month, DMARD disease-modifying drugs, MTX methotrexate, RF rheumatoid factor, w week, ESR erythrocyte sedimentation rate, CRP C-reactive protein, SLR systematic literature review, RTX rituximab, ABA abatacept, ADA adalimumab

Facteurs prédictifs de réponse au rituximab

Profil «B» de polyarthrite rhumatoïde

- Facteurs rhumatoïdes et les ACPA (effet dose)
- Hypergammaglobulinémie / taux d'IgG
- Polyautoimmunité

- BAFF, CCL19, gènes de la voie de la signalisation interféron
- Taux élevé de lymphocytes circulants / % élevé de plasmablastes

Facteurs prédictifs de réponse au tocilizumab, aux anti-TNF et aux JAKi

Tocilizumab

- CRP élevée signes d'inflammation systémique
- Données contrastées sur le dosage sérique de l'IL-6

Anti-TNF et JAKi

- Pas de marqueur spécifique
- JAKi et inflammation systémique?

Choix des différentes lignes de traitements ciblés

	Immunopositif	Immunonégatif		
CRP élevée	TOCILIZUMAB JAKi Anti-TNF (etanercept) Abatacept Rituximab	TOCILIZUMAB JAKi Anti-TNF (etanercept)	Monothérapie	
CRP normale	Anti-TNF ABATACEPT (Anti-CCP+++) RITUXIMAB (Anti-CCP++, polyautoimmnité) JAKi Tocilizumab	Anti-TNF JAKi Tocilizumab	Combinais on cs DMARDs	

Situations particulières

• Grossesse

• Pneumopathie interstitielle diffuse

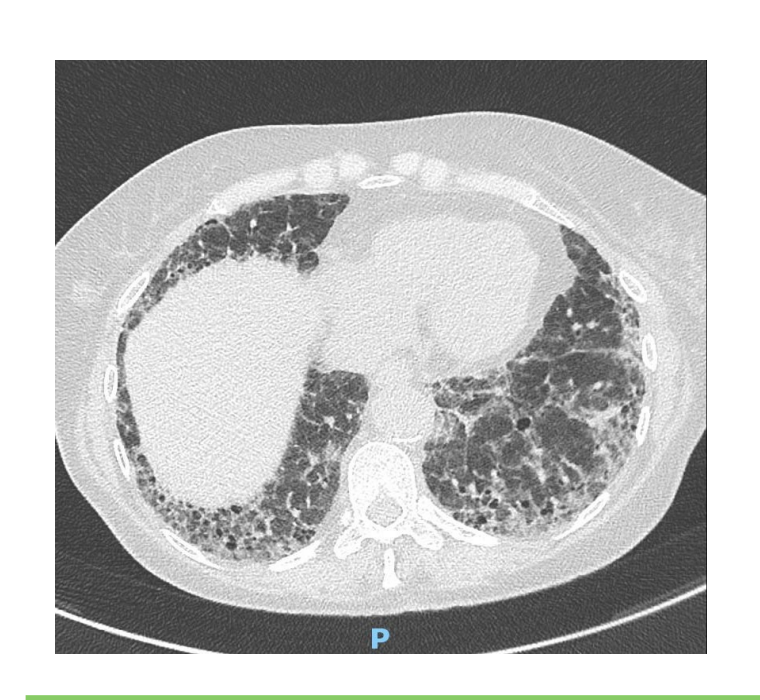
• Comorbidités cardiovas culaires

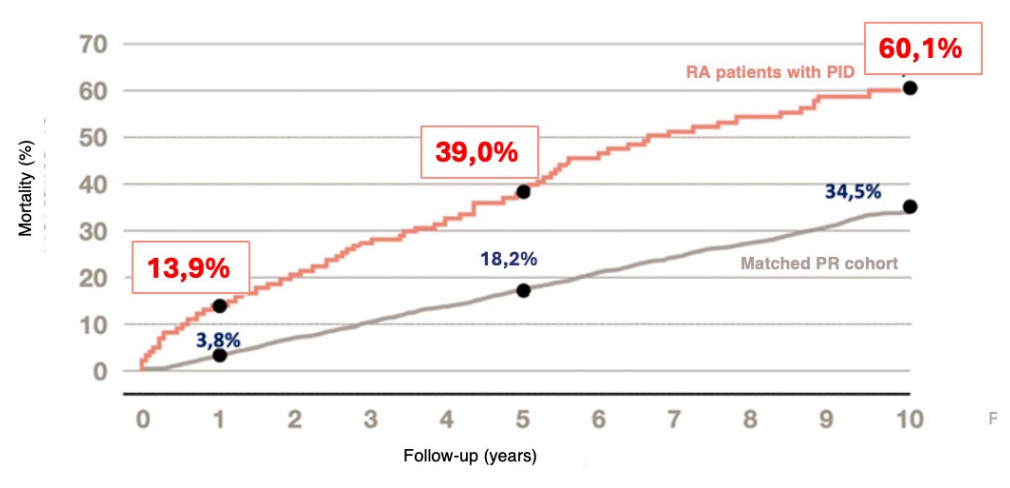
• Risque tumoral

Grossesse

Ig G1 et Ac monoclonaux Anti-TNF alpha	IgG1 native	Infliximab	Adalimumab	Golimumab	Certolizumab
Structure		Ac monoclonal IgG1	Ac monoclonal IgG1	Ac monoclonal IgG1	Fragment Fab' conjugué au polyéthylène glycol (PEG)
	Fab'	Fab'	Fab' -	Fc -	Fab' - PEG -
Demi-vie d'élimination plasmatique	21 jours	10 jours	14 jours	14 jours	14 jours
Liaison au FcRn	Oui	Oui	Oui	Oui	Non
Dosage sang de cordon	[C°néonatales]> [C°maternelles]	[C°néonatales]> [C°maternelles]	[C°néonatales]> [C°maternelles]	[C°néonatales]> [C°maternelles]	[C°néonatales] non détectables ou <3% des [C°maternelles]

Pneumopathie interstitielle diffuse





SFR 2023 Accord

En cas d'initiation d'un traitement ciblé chez un patient PR-PID, il est préférable d'utiliser <u>l'abatacept ou le rituximab</u>.

85%

 $9,0 \pm 1,2$

Niveau de Preuve IIIc / Grade C

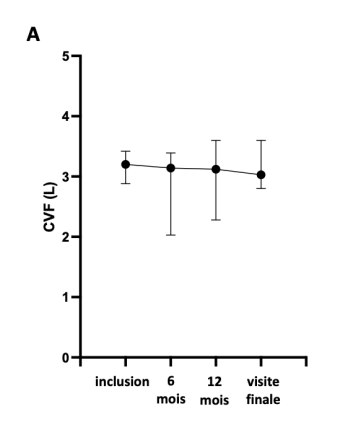


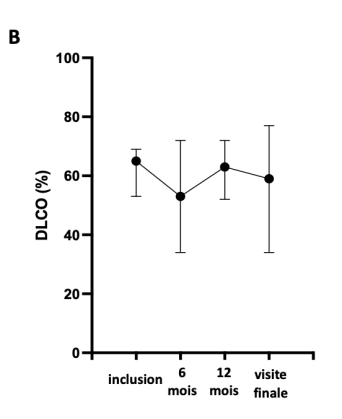
ORIGINAL RESEARCH

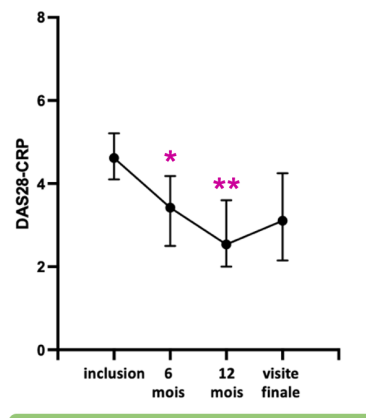
Evaluation of rheumatoid arthritisassociated interstitial lung disease in patients treated with JAK inhibitors: a MAJIK-SFR cohort study

To cite: Triboulet F, Juge P-A, Truchetet M-E, *et al.* Evaluation of rheumatoid arthritis-associated interstitial lung disease in patients treated with JAK inhibitors: a MAJIK-SFR cohort study. *RMD Open* 2025;**11**:e005062. doi:10.1136/rmdopen-2024-005062

Félicien Triboulet, Pierre-Antoine Juge , Amarie-Elise Truchetet , Amarie-Elise Truchetet, Amarie , Amarie-Elise Truchetet, Amarie , Amar







Significant reduction in DAS28-CRP at 6 months (-1.3 points, p = 0.001) and 12 months (-1.35 points, p < 0.001)

WHAT IS ALREADY KNOWN ON THIS TOPIC

⇒ Janus kinase inhibitors (JAKis) are an emerging class of targeted therapies primarily used in rheumatoid arthritis (RA). While they are effective in controlling RA's systemic inflammation, their impact on RA-associated interstitial lung disease (RA-ILD) is not as well established. Case reports and smaller observational studies suggest that JAKis may stabilise lung function and pulmonary symptoms in RA-ILD patients, but data is still emerging.

WHAT THIS STUDY ADDS

⇒ This national study provides a detailed description of RA-ILD patients treated with JAKis in France, including demographics, disease characteristics and treatment history. It shows stability in lung function parameters (forced vital capacity, diffusing capacity of the lungs for carbon monoxide) over a median follow-up of 21 months combined with a good therapeutic response on joint involvement. Highresolution CT lesions remained stable in 62% of patients, while 19% showed progression of ILD. No new safety signals were identified, with respiratory tract infections being the most common adverse events observed.

HOW THIS STUDY MIGHT AFFECT RESEARCH, PRACTICE OR POLICY

⇒ The results suggest that JAKis could be a viable treatment option for managing both systemic RA symptoms and the pulmonary complications associated with RA-ILD.

Athérosclérose et inflammation

FACTEURS DE RISQUE TRADITIONNELS

Diabète
Hyperglycémie
Glycosylation
Oxydation

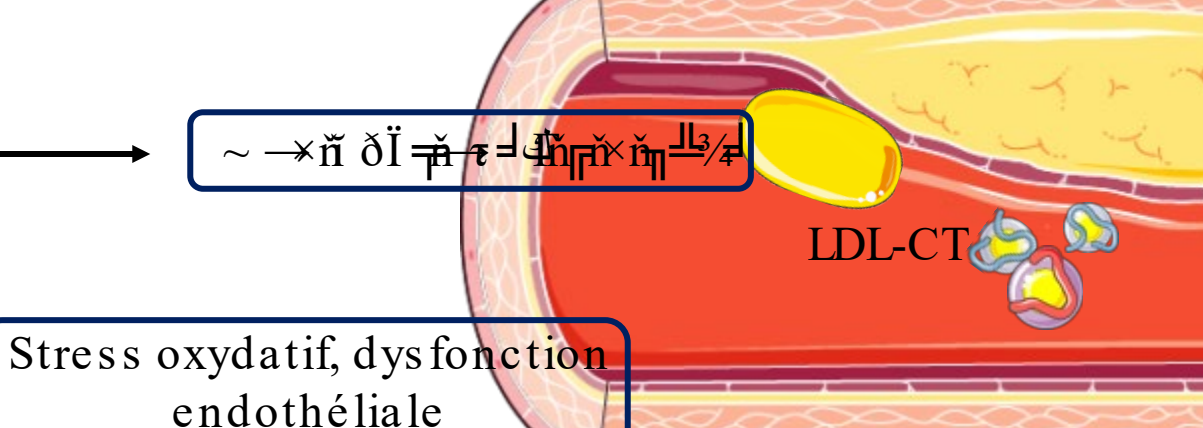
Tabagisme
Oxydation
Epitopes antigéniques
Radicaux libres

Hypertension
Oxydation
Ischémie tissulaire
Dysfonction endothéliale

Production cytokinique

? ♣ Třípř×Fo ří⁄4 á ♣♣×Ï př ≀ x? x Třípř * **ří ***





Cytokines pro inflammatoires (IL-6; IL-1; TNF)

Anticorps FR, ACPA

Obésité Cytokines Adipokines Insulino-résistance Génétique Risque poly génétique Maladie rénale
Oxydation
Ischémie tissulaire
Dysfonction endothéliale

Bénéfice cardiovas culaire des anti-TNF et des anti-IL6R

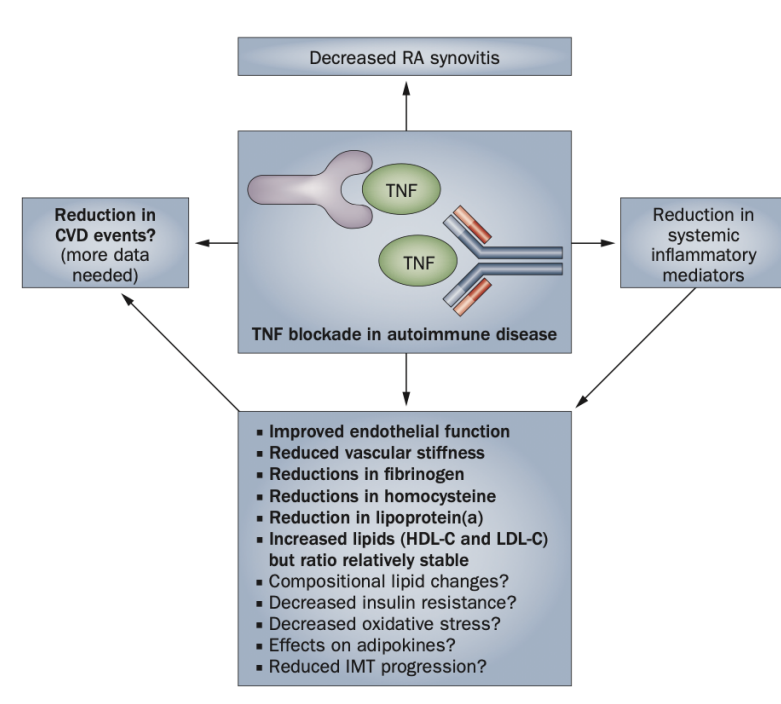
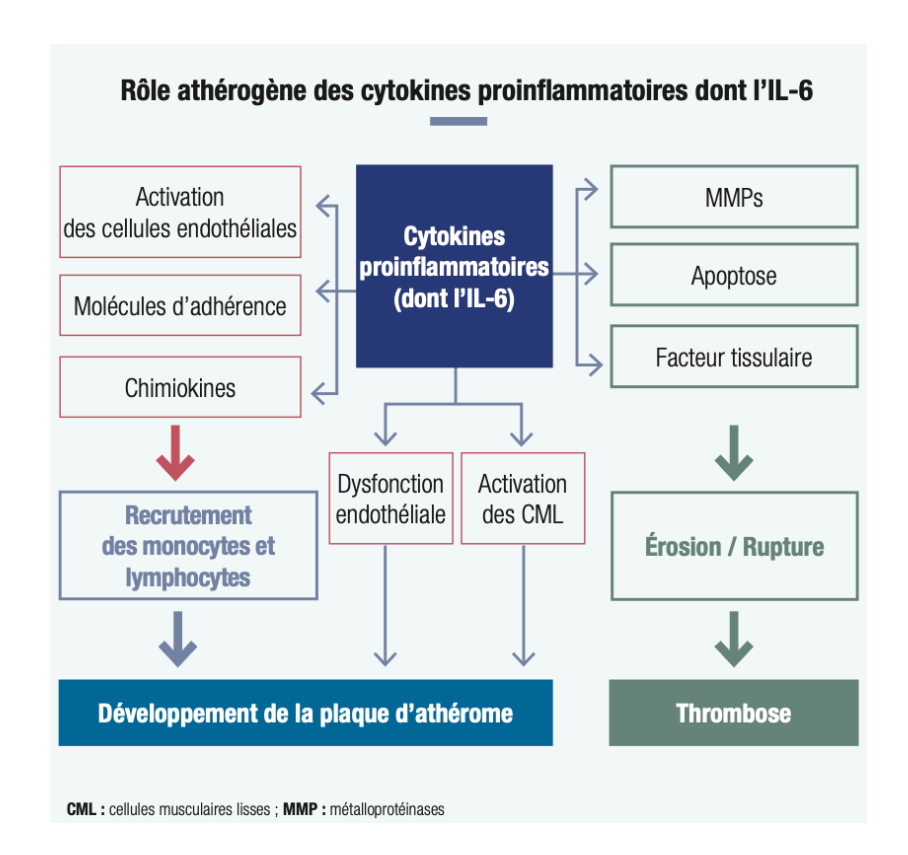


Figure 3 | Effects of TNF blockade on systemic inflammation, surrogate vascular and metabolic markers and CVD events. Abbreviations: CVD, cardiovascular disease; HDL-C, high-density lipoprotein cholesterol; IMT, intima—media thickness; LDL-C, low-density lipoprotein cholesterol; RA, rheumatoid arthritis; TNF, tumor necrosis factor.



effet bénéfique cardiovasculaire de l'inhibition de la voie de l'IL-6 pourrait être lié à :

- La restauration de la fonction endothéliale
- La réduction du stress oxydatif
- L'inhibition du profil prothrombotique et inflammatoire des monocytes
- La réduction des taux de protéines athérogènes et de lipoprotéines

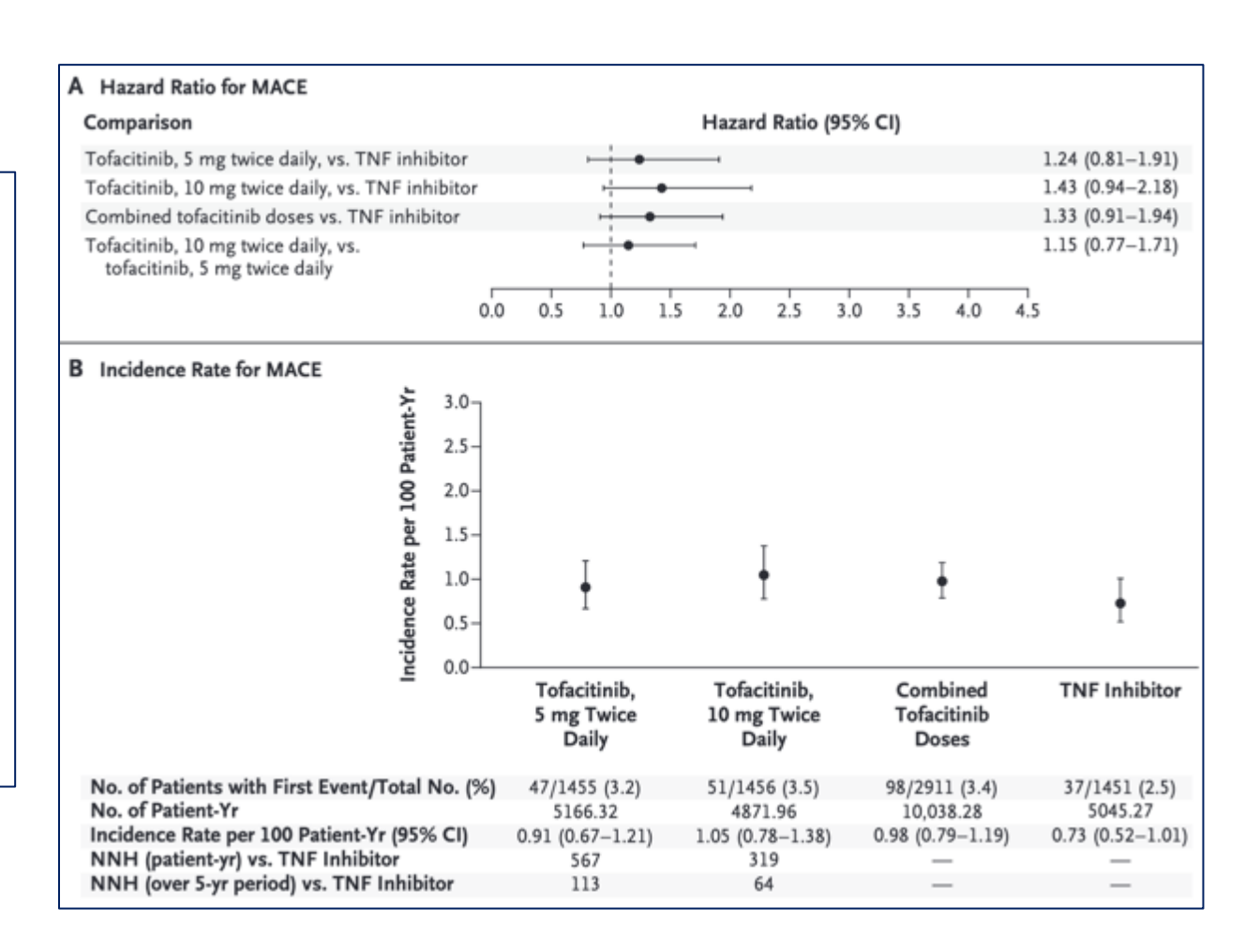
Risque de MACE dans ORAL Surveillance

The NEW ENGLAND JOURNAL of MEDICINE

ORIGINAL ARTICLE

Cardiovascular and Cancer Risk with Tofacitinib in Rheumatoid Arthritis

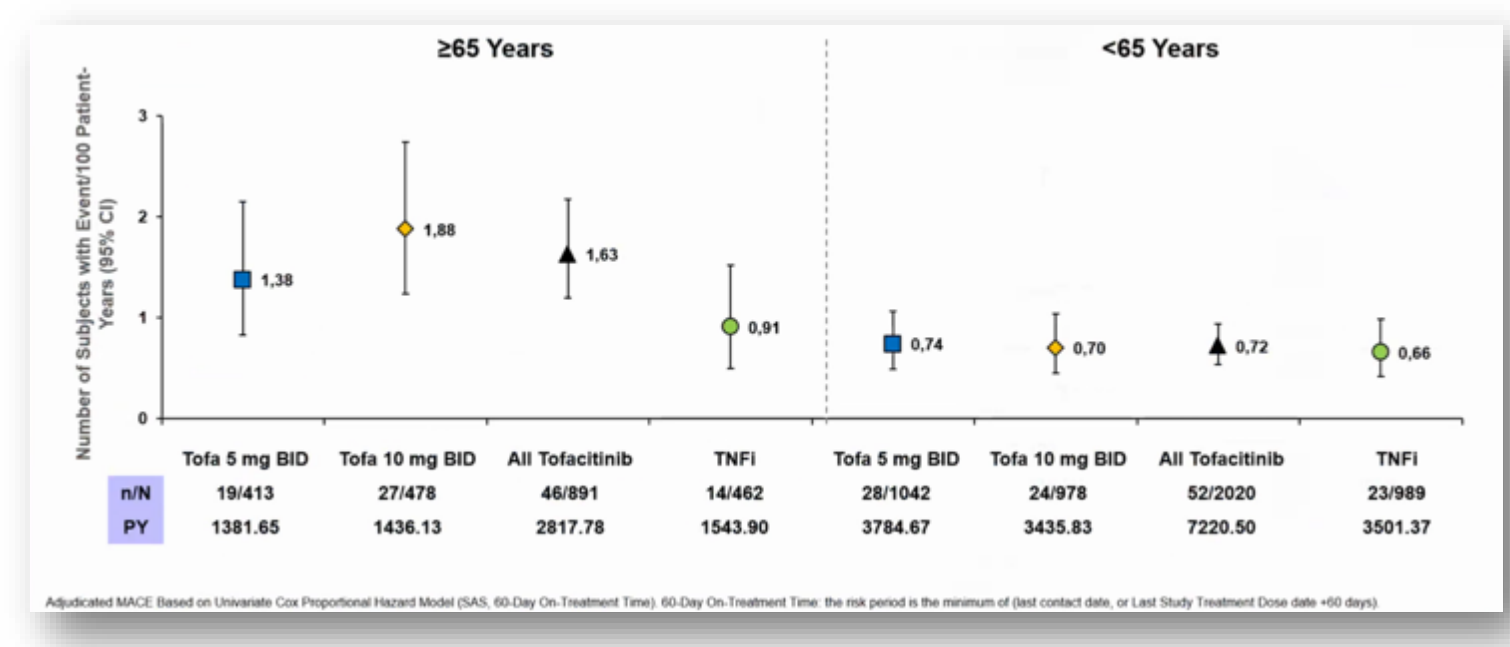
Steven R. Ytterberg, M.D., Deepak L. Bhatt, M.D., M.P.H.,
Ted R. Mikuls, M.D., M.S.P.H., Gary G. Koch, Ph.D., Roy Fleischmann, M.D.,
Jose L. Rivas, M.D., Rebecca Germino, Ph.D., Sujatha Menon, Ph.D.,
Yanhui Sun, Ph.D., Cunshan Wang, Ph.D., Andrea B. Shapiro, M.D.,
Keith S. Kanik, M.D., and Carol A. Connell, R.N., Ph.D.,
for the ORAL Surveillance Investigators*

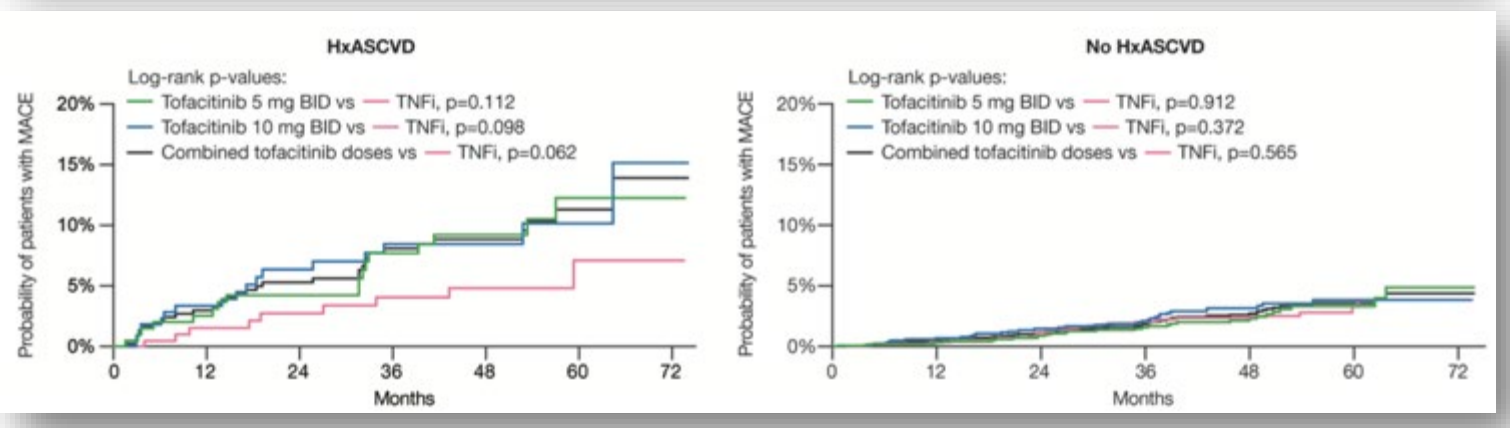


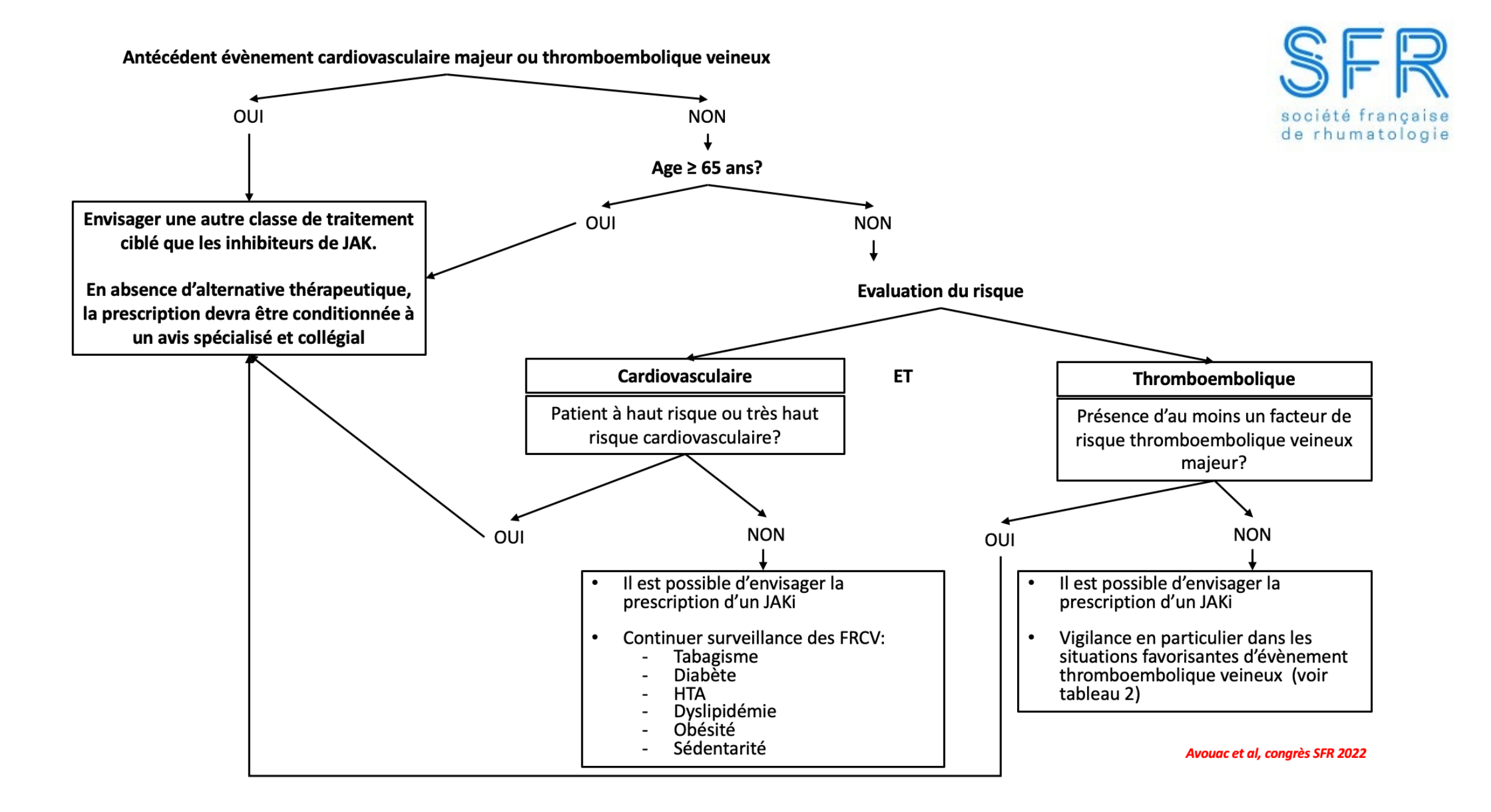
Quel est le profil des patients à risque cardiovasculaire dans ORAL SURVEILLANCE ?

Age ≥ 65 ans

Ma la die cardiovasculaire athéromateuse





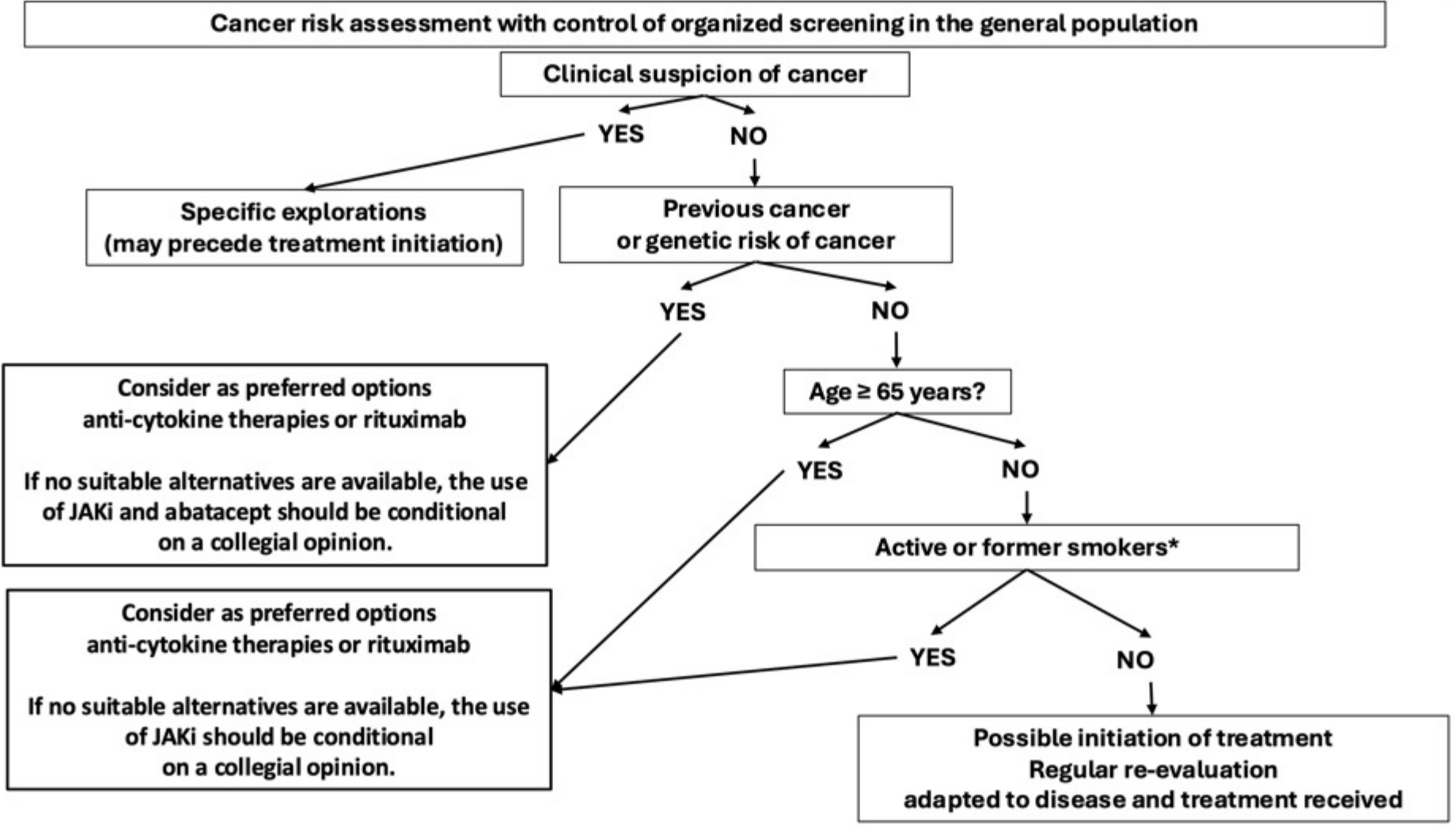


Risque tumoral-antécédent de cancer

		LoE	LoA mean (SD)	LoA ≥8/10 (%)
Ove	rarching principles			
4	These PTC are underpinned by the EULAR recommendations for the management of inflammatory arthritis (ie, RA, SpA)	NA	9.6 (0.7)	96
3	New-onset or recurrent cancer can occur in patients with inflammatory arthritis with a history of cancer	NA	9.9 (0.2)	100
-	Individualised risk of cancer recurrence needs to be assessed based on the characteristics of the patient, cancer and the underlying inflammatory arthritis	NA	9.8 (0.6)	100
)	The rheumatologist is responsible for the management of patients with inflammatory arthritis and a history of cancer	NA	9.7 (0.7)	96
	Treatment of patients with inflammatory arthritis and a history of cancer should aim at optimising outcomes and must be based on a shared decision between the patient and the rheumatologist	NA	9.7 (0.8)	96
oir	ts to consider			
	Treating inflammatory arthritis effectively in patients with a history of cancer is important to reduce the potential associated risk of malignancy	5	8.9 (2.1)	85
2	The risk of complications associated with undertreated inflammatory activity should be balanced against the potential risk of targeted antirheumatic therapy-related cancer recurrence	5	9.8 (0.5)	96
3	The rheumatologist should engage with other specialists caring for cancer for the co-management of patients with inflammatory arthritis and a history of cancer	5	9.5 (1.1)	96
ļ	Appropriate targeted antirheumatic treatment can be initiated without delay in patients with cancer in remission	4	9.4 (0.9)	92
,	In patients with a history of cancer, JAK inhibitors and Abatacept may be used with caution and only in the absence of therapeutic alternatives	5	8.9 (1.1)	84
5	When targeted antirheumatic therapy is indicated in patients with a history of solid cancer*, TNF inhibitors may be preferred over other treatment options	4	9.2 (1.3)	88
,	When targeted antirheumatic therapy is indicated in patients with a history of lymphoma, B-cell-depleting therapy may be preferred over other treatment options	5	9.3 (1.1)	92
	In patients with a malignancy not in remission and active inflammatory arthritis, the decision to start targeted antirheumatic therapy should be based on a shared decision between the patient, the specialist caring for cancer and the rheumatologist	5	9.8 (0.5)	100

Algorithm for assessing cancer risk before considering the prescription of a targeted therapy





Analyse histologique Eléments disponibles Biomarqueurs sériques / liquide du tis su synovial en routine synovial PREDICTION DE LA ¢•E©Eı **REPONSE FUTUR** Analyse OMICs Analyse du Transcriptomique Génétique microbiote Protéomique Métabolomique

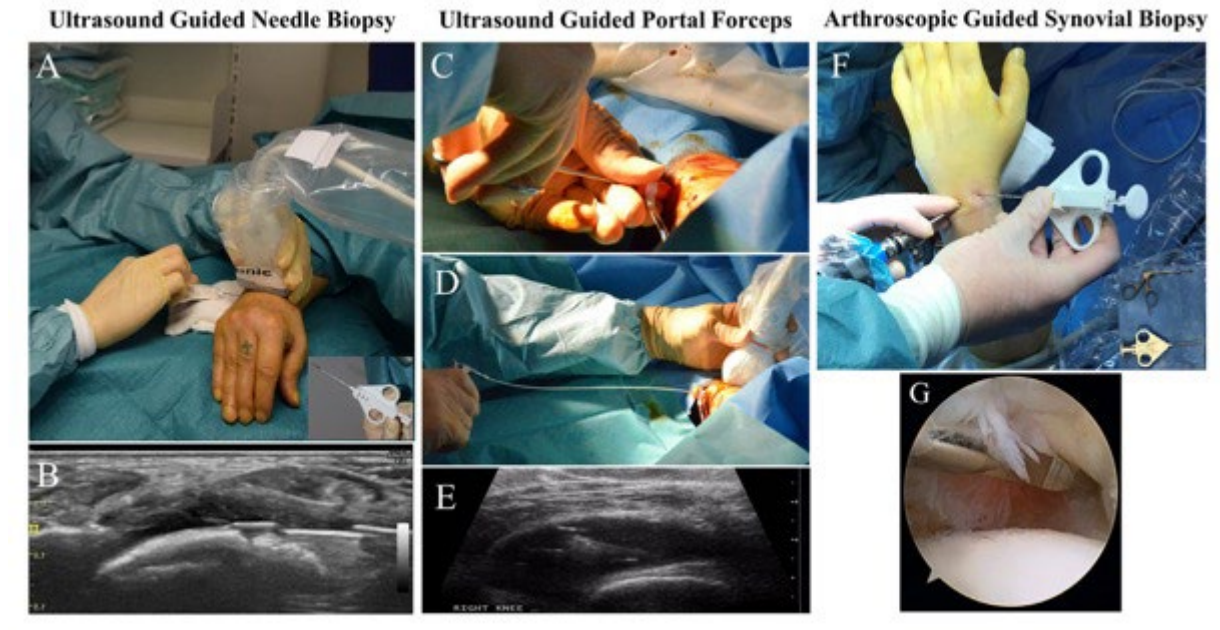
Comment étudier le tissu synovial?

Biopsies à l'aveugle

Biopsies arthroscopiques

Biopsies synoviales échoguidées





Just et al. RMD Open 2018

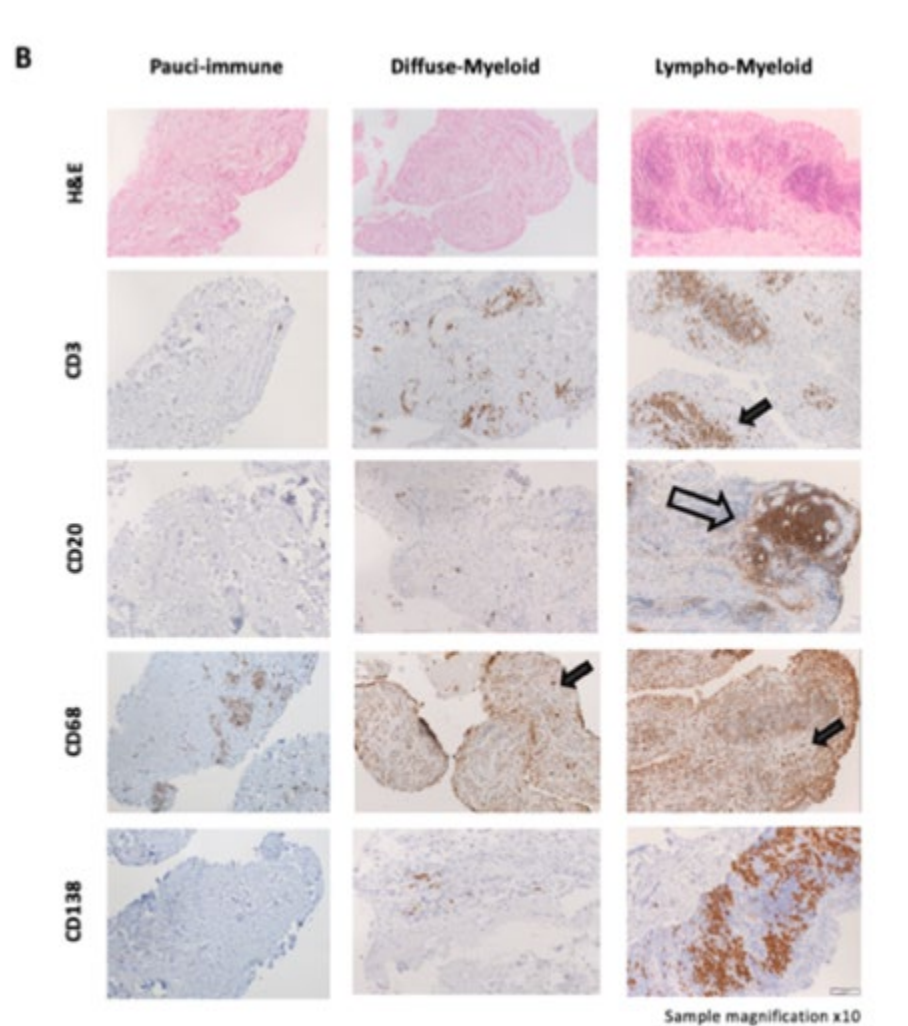


Najm et al. Revue du Rhum 2020

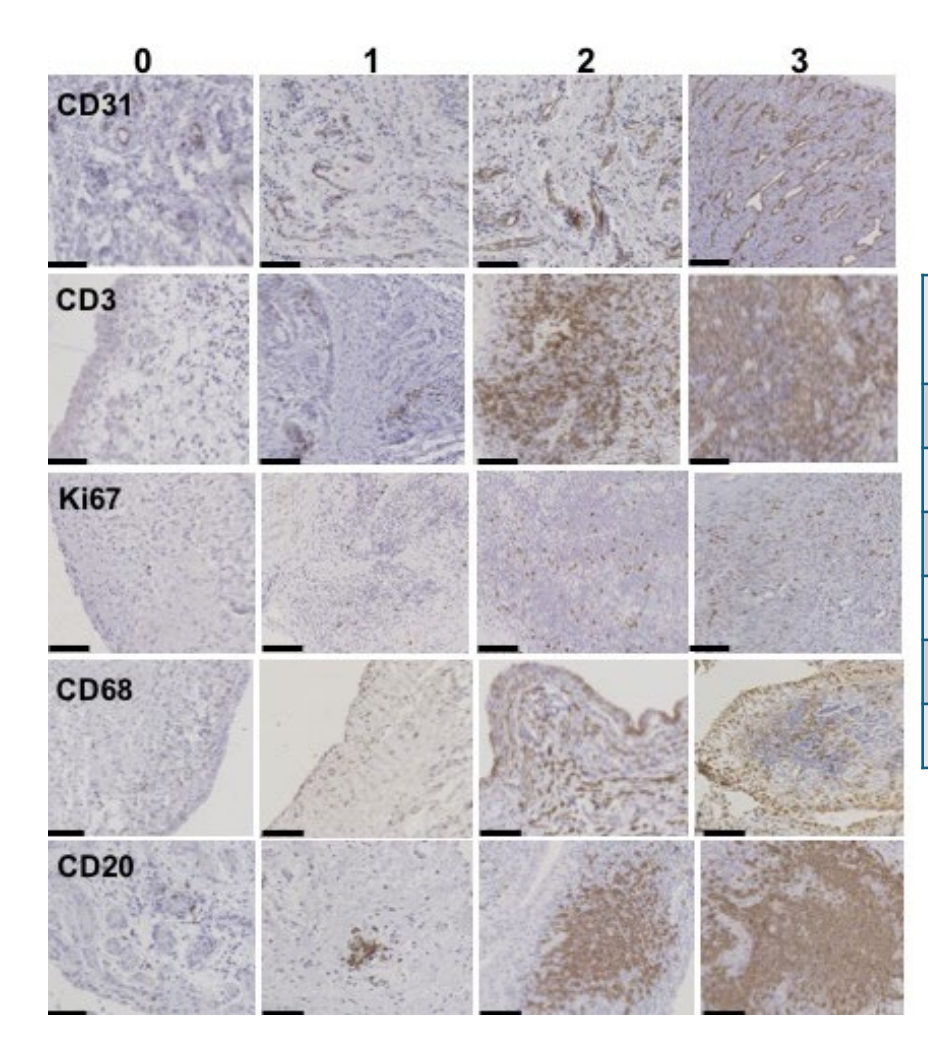
Etude histologique

IMSYC

Pathotypes



Atlas



Score

Krenn Synovitis Score	0-9
CD31	0-3
CD3	0-3
Ki67	0-3
CD68	0-3
CD20	0-3
Total	0-24

Llis o-Ribera et al, Ann Rheum Dis 2019 Wu et al, Nature. 2021 Najm et al, Joint Bone Spine 2018



27 rue du Faubourg Saint-Jacques

24H22129

SERVICE DE PATHOLOGIE

Professeur Benoît TERRIS

DMU Imagina

Tel: 01 58 41 41 41 Poste: 11 481 Fax: 01 58 41 14 63 / 14 80

75679 Paris cedex 14

Docteur Jérome AVOUAC

Service Rhumatologie A Bat. Hardy GH COCHIN 75014 PARIS

Née le 08/07/2002 Sexe : F Prescripteur : Docteur Jérome AVOUAC Origine : Echo radio B

Radiologie B, Batiment OLLIER

Examen prélevé le : 21/10/2024 Examen reçu le : 21/10/2024

NIP: 8016761151 NDA: Réf ext:

BIOPSIE SYNOVIALE GENOU DROIT

Renseignements cliniques : polyarthrite rhumatoïde.

Macroscopie:

Deux carottes beige et rougeâtres, mesurant ensemble 24 mm de longueur, ont été incluses en totalité (1 et 2, formol tamponné).

Microscopie:

Le revêtement synoviocytaire est constitué d'une couche de cellules. Le tissu sous synoviocytaire est infiltré par des lymphocytes à disposition péri vasculaire ainsi que des plasmocytes. Les vaisseaux sont nombreux. Il existe une lésion microscopique focale avec présence d'histiocytes en surface et de rares polynucléaires neutrophiles (bloc 1). Absence de granulome épithélioïde et gigantocellulaire. Absence de dépôt de microcristaux ou d'autre nature.

CONCLUSION:

Discrète synovite subaigué chronique.

Pathotype lymphomyéloïde

CD20:>=2

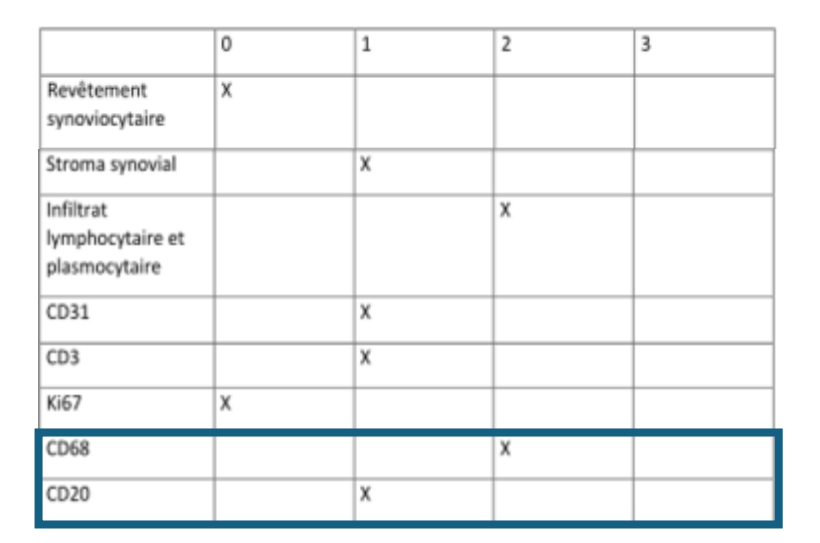
CD138:>=2

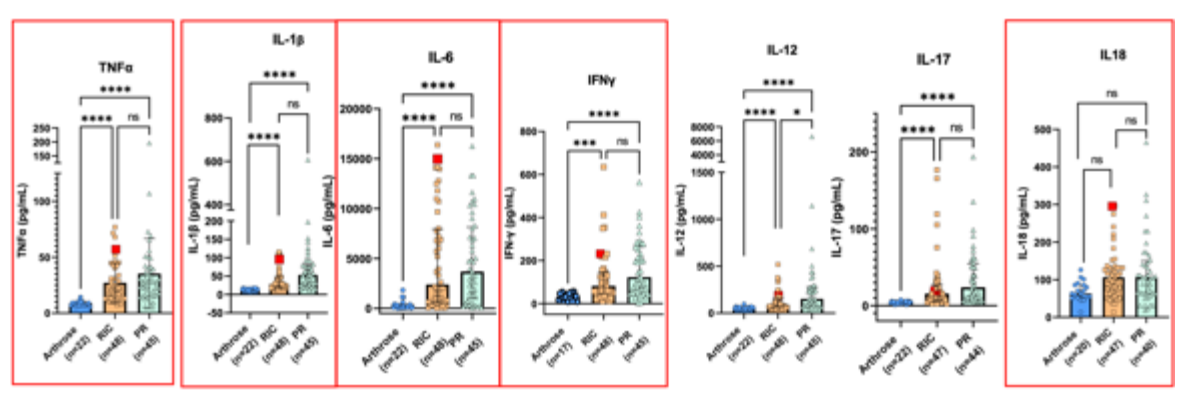
CD68:2

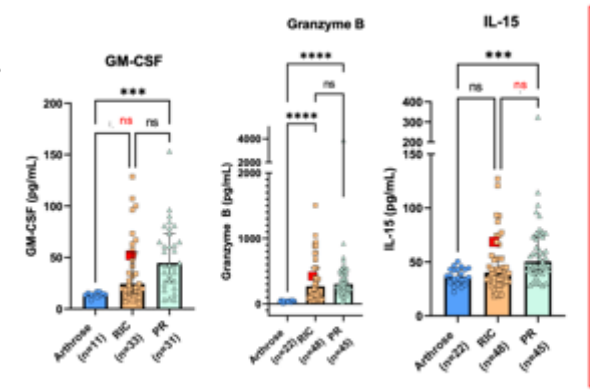
Score de Krenn: 3

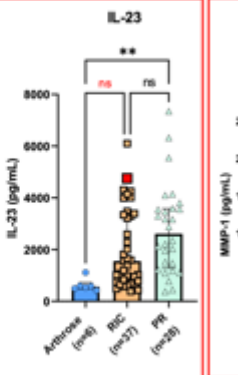
Score IMSYC: 12

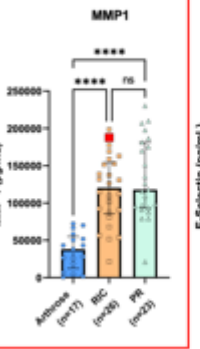
Cytokines LA

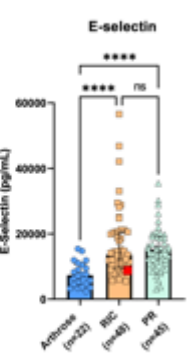












Rituximab versus tocilizumab in anti-TNF inadequate responder patients with rheumatoid arthritis (R4RA): 16-week outcomes of a stratified, biopsy-driven, multicentre, open-label, phase 4 randomised controlled trial

Frances Humby, Patrick Durez, Maya H Buch, Myles J Lewis, Hasan Rizvi, Felice Rivellese, Alessandra Nerviani, Giovanni Giorli, Arti Mahto, Carlomaurizio Montecucco, Bernard Lauwerys, Nora Ng, Pauline Ho, Michele Bombardieri, Vasco C Romão, Patrick Verschueren, Stephen Kelly, Pier Paolo Sainaghi, Nagui Gendi, Bhaskar Dasgupta, Alberto Cauli, Piero Reynolds, Juan D Cañete, Robert Moots, Peter C Taylor, Christopher J Edwards, John Isaacs, Peter Sasieni, Ernest Choy, Costantino Pitzalis, on behalf of the R4RA collaborative group

- Essai R4RA dédié à une population en échec aux anti-TNF
- 50% des PR ont peu ou pas de lymphocytes B au sein de la synoviale. Préférable de les traiter avec un anti-IL6R ?
- Phase IV de 48 semaines, se basant sur les résultats d'une biopsie synoviale, multicentrique, en ouvert, randomisé (rituximab vs tocilizumab) réalisée dans 19 centres (Royaume Uni, Belgique, Italie, Portugal, et Espagne).

Biopsie synoviale

- D'une articulation active
- Arthroscopie ou échographie
- 6-8 biopsies
- Analyse histologique centralisée avec marquage CD20, CD3, CD138 et CD68
- Analyse aussi transcriptomique
- Classification en :
 - Riche en B
 - Non riche en B
 - Parmi le groupe riche en B, classification en GC+ si présence de CD21+ DC



Réponse clinique à la 16ème semaine en ITT dans le groupe pauvre en B

	Histological classification				RNA sequencing classification			
	Rituximab (n=38)	Tocilizumab (n=41)	Treatment effect	Unadjusted p value	Rituximab (n=33)	Tocilizumab (n=32)	Treatment effect	Unadjusted p value
Primary endpoint*								
CDAI ≥50% improvement at week 16	17 (45%)	23 (56%)	11% (-11 to 33)	0.31	12 (36%)	20 (63%)	26% (3 to 50)	0.035
Supplementary endpoint*								
CDAI ≥50% improvement and CDAI ≤10·1 at week 16	9 (24%)	19 (46%)	23% (2 to 43)	0.035	4 (12%)	16 (50%)	38% (17 to 59)	0.0012
Binary secondary endpoints*								
CDAI ≤10·1 at week 16	11 (29%)	19 (46%)	17% (-3 to 38)	0.11	5 (15%)	16 (50%)	35% (14 to 56)	0.0036
DAS28-ESR ≤3·2 at week 16	10 (26%)	18 (44%)	18% (-4 to 38)	0.10	6 (18%)	17 (53%)	35% (13 to 57)	0.0032
DAS28-CRP ≤3·2 at week 16	12 (32%)	19 (46%)	15% (-7 to 36)	0.18	7 (21%)	16 (50%)	29% (7 to 51)	0.015
DAS28-ESR ≤2·6 at week 16	6 (16%)	15 (37%)	21% (2 to 40)	0.037	3 (9%)	13 (41%)	32% (12 to 51)	0.004
DAS28-CRP ≤2·6 at week 16	7 (18%)	13 (32%)	13% (-6 to 32)	0.17	4 (12%)	10 (31%)	19% (0 to 39)	0.076
Moderate or good EULAR DAS28-ESR response at week 16	25 (66%)	36 (88%)	22% (4 to 40)	0.031	21 (64%)	30 (94%)	30% (12 to 49)	0.0053
Moderate or good EULAR DAS28-CRP response at week 16	22 (58%)	32 (78%)	20% (0 to 40)	0.054	18 (55%)	27 (84%)	30% (9 to 51)	0.015
Continuous secondary endpoints†								
CDAI, least squares mean change at week 16	-12·1 (1·9)	-15.7 (1.9)	3·6 (-1·7 to 8·9)	0.18	-10-9 (2-0)	-17-2 (2-0)	6·3 (0·7 to 12·0)	0.029
DAS28-ESR, least squares mean change at week 16	-1.5 (0.2)	-2.6 (0.2)	1·1 (0·5 to 1·7)	0.0006	-1.3 (0.2)	-2.8 (0.2)	1.5 (0.9 to 2.2)	<0.0001
DAS28-CRP, least squares mean change at week 16	-1.3 (0.2)	-2.0 (0.2)	0·7 (0·1 to 1·3)	0.032	-1.1 (0.2)	-2.1 (0.2)	1·0 (0·4 to 1·6)	0.0021
HAQ, least squares mean change at week 16	-0.3 (0.1)	-0.4 (0.1)	0·1 (-0·1 to 0·3)	0.40	-0.2 (0.1)	-0.2 (0.1)	<0·1 (-0·2 to 0·2)	0.91
FACIT, least squares mean change at week 16	1.6 (1.1)	5.6 (1.1)	-4·0 (-7·2 to -0·8)	0.015	2.1 (1.4)	4.9 (1.4)	-2·8 (-6·9 to 1·2)	0.16
SF36-PCS, least squares mean change at week 16	4.1 (1.5)	7-3 (1-5)	-3·2 (-7·4 to 0·9)	0.12	3.5 (1.5)	4.3 (1.5)	-0.8 (-5.0 to 3.5)	0.72
SF36-MCS, least squares mean change at week 16	-0.7 (1.6)	2.1 (1.6)	-2·8 (-7·3 to 1·8)	0.22	0.9 (1.8)	4.5 (1.9)	-3·7 (-8·8 to 1·5)	0.16

Réponse clinique à la 16ème semaine en ITT dans le groupe riche en B

	Histological electification PNA sequencing electification							
	Histological classification			RNA sequencing classification				
	Rituximab	Tocilizumab	Treatment effect	Unadjusted	Rituximab	Tocilizumab	Treatment effect	Unadjusted
	(n=33)	(n=31)		p value	(n=30)	(n=29)		p value
Primary endpoint*								
CDAI ≥50% improvement at week 16	13 (39%)	16 (52%)	12% (-12 to 37)	0-33	15 (50%)	14 (48%)	-2% (-27 to 24)	0.89
Supplementary endpoint*								
CDAI ≥50% improvement and CDAI ≤10·1 at week 16	5 (15%)	11 (36%)	20% (-1 to 41)	0.085	7 (23%)	9 (31%)	8% (-15 to 30)	0.51
Binary secondary endpoints*								
CDAI ≤10·1 at week 16	7 (21%)	12 (39%)	18% (-5 to 40)	0.13	10 (33%)	10 (35%)	1% (-23 to 25)	0.93
DAS28-ESR ≤3·2 at week 16	8 (24%)	13 (42%)	18% (-5 to 40)	0.13	9 (30%)	10 (35%)	5% (-19 to 28)	0.71
DAS28-CRP ≤3·2 at week 16	12 (36%)	13 (42%)	6% (-18 to 30)	0.65	14 (47%)	11 (38%)	-9% (-34 to 16)	0.50
DAS28-ESR ≤2-6 at week 16	2 (6%)	11 (36%)	29% (11 to 48)	0.0047	3 (10%)	10 (35%)	25% (4 to 45)	0.03
DAS28-CRP ≤2·6 at week 16	4 (12%)	9 (29%)	17% (-3 to 36)	0.12	4 (13%)	8 (28%)	14% (-6 to 35)	0.21
Moderate or good EULAR DAS28-ESR response at week 16	25 (76%)	27 (87%)	11% (-8 to 30)	0.34	24 (80%)	24 (83%)	3% (-17 to 23)	1.00
Moderate or good EULAR DAS28-CRP response at week 16	23 (70%)	25 (81%)	11% (-10 to 32)	0.31	23 (77%)	23 (79%)	3% (-19 to 24)	0.81
Continuous secondary endpoints†								
CDAI, least squares mean change at week 16	-13-2 (2-1)	-14-2 (2-1)	1·0 (-4·9 to 6·8)	0.73	-15 (2·1)	-14·1 (2·2)	-0·5 (-6·5 to 5·6)	0.88
DAS28-ESR, least squares mean change at week 16	-1.5 (0.2)	-2.6 (0.2)	1·1 (0·5 to 1·8)	0.0009	-1.7 (0.2)	-2.4 (0.2)	0·7 (0·1 to 1·4)	0.026
DAS28-CRP, least squares mean change at week 16	-1.5 (0.2)	-2.0 (0.2)	0.6 (-0.0 to 1.1)	0.059	-1.7 (0.2)	-1.9 (0.2)	0·3 (-0·3 to 0·9)	0.34
HAQ, least squares mean change at week 16	-0.3 (0.1)	-0.4 (0.1)	0·1 (-0·2 to 0·4)	0.41	-0.3 (0.1)	-0.5 (0.1)	0·2 (-0·0 to 0·5)	0.085
FACIT, least squares mean change at week 16	8.5 (1.9)	7.8 (2.0)	0·7 (-4·8 to 6·3)	0.79	6.9 (1.8)	8.34 (1.9)	-1·5 (-6·7 to 3·8)	0.58
SF36-PCS, least squares mean change at week 16	7.0 (2.0)	8.5 (2.1)	-1·5 (-7·2 to 4·2)	0.59	6.9 (1.9)	10.9 (2.1)	-4·0 (-9·6 to 1·6)	0.16
SF36-MCS, least squares mean change at week 16	5.4 (2.2)	3.3 (2.4)	2·1 (-4·5 to 8·5)	0.53	4.4 (2.3)	3.01 (2.5)	1·4 (-5·4 to 8·2)	0.68
3. 33 mes, rease squares mean enange at meth 20	37(22)	J J (~ 7)	-1(+5.005)	- 55	7 7 (~ 3)	5 02 (2 5)	- 7 (3 7 10 0 2)	



EULAR definition of difficult-to-treat rheumatoid arthritis

```
György Nagy , <sup>1,2</sup> Nadia MT Roodenrijs , <sup>3</sup> Paco MJ Welsing, <sup>3</sup> Melinda Kedves , <sup>4</sup> Attila Hamar, <sup>5</sup> Marlies C van der Goes, <sup>3,6</sup> Alison Kent, <sup>7</sup> Margot Bakkers, <sup>8</sup> Etienne Blaas, <sup>3</sup> Ladislav Senolt, <sup>9</sup> Zoltan Szekanecz , <sup>5</sup> Ernest Choy, <sup>10</sup> Maxime Dougados, <sup>11</sup> Johannes WG Jacobs , <sup>3</sup> Rinie Geenen, <sup>12</sup> Hans WJ Bijlsma, <sup>3</sup> Angela Zink, <sup>13</sup> Daniel Aletaha , <sup>14</sup> Leonard Schoneveld, <sup>15</sup> Piet van Riel, <sup>16</sup> Loriane Gutermann, <sup>17</sup> Yeliz Prior, <sup>18</sup> Elena Nikiphorou , <sup>19</sup> Gianfranco Ferraccioli , <sup>20</sup> Georg Schett , <sup>21</sup> Kimme L Hyrich, <sup>22,23</sup> Ulf Mueller-Ladner, <sup>24</sup> Maya H Buch , <sup>22,23,25</sup> lain B McInnes, <sup>26</sup> Désirée van der Heijde , <sup>27</sup> Jacob M van Laar<sup>3</sup>
```

Définition EULAR PR difficile à traiter

Définition de l'EULAR des PR difficiles à traiter

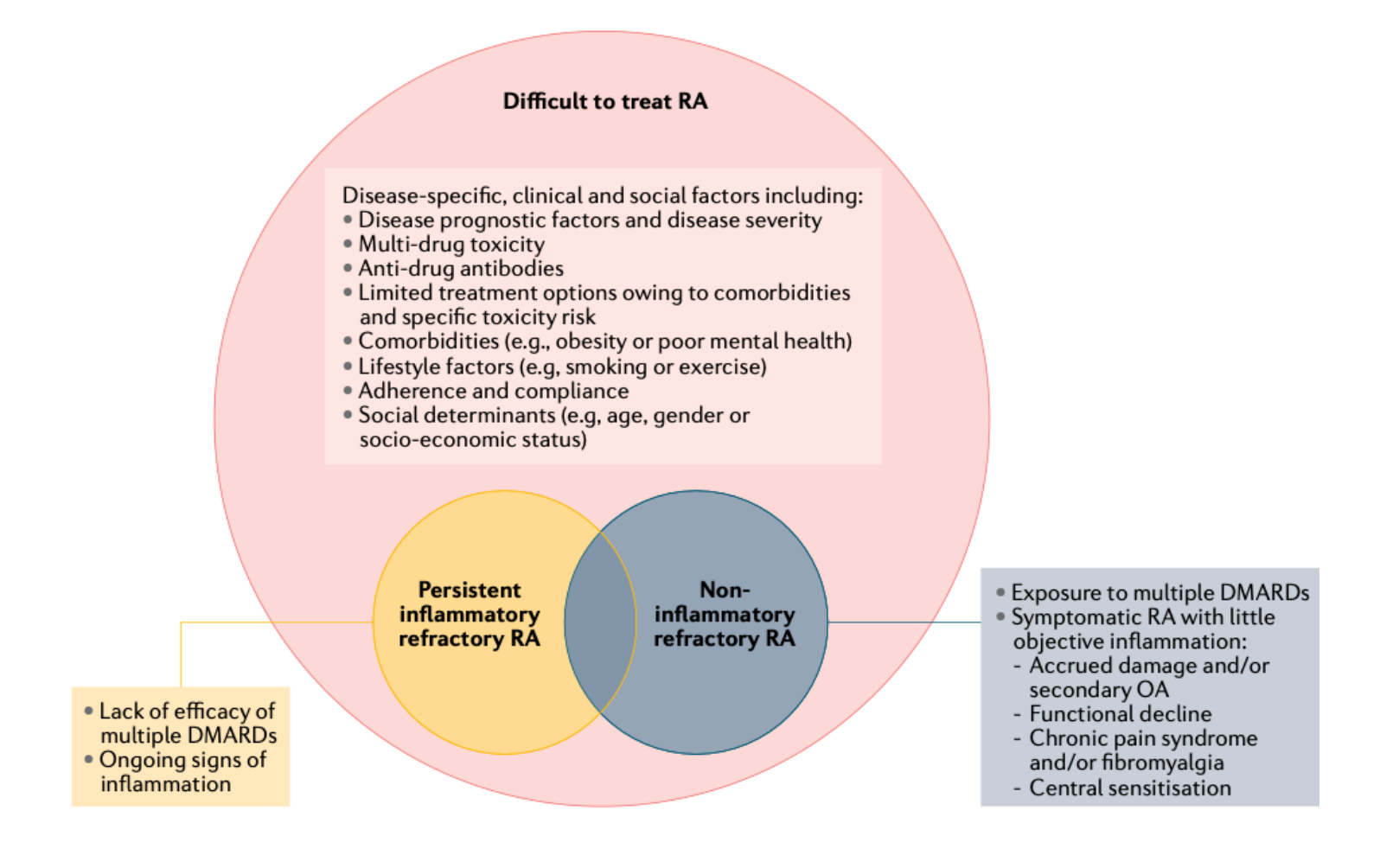
- Traitement selon les recommandations de l'EULAR et échec d'au moins 2 b/tsDMARD, de mécanisme d'action différent, * après échec des csDMARD (sauf contre-indication). **
- 2. Signes évocateurs d'une maladie active/évolutive, définis comme ≥ 1 parmi :
 - Au moins une activité modérée de la maladie (selon des mesures composites validées, par exemple, DAS28> 3,2 ou CDAI> 10).
 - Signes (cliniques, biologiques et/ou d'imagerie) et/ou symptômes suggérant une maladie active (liée aux articulations ou extra-articulaire).
 - Incapacité de diminuer le traitement par corticoïdes (en dessous de 7,5 mg/jour de prednisone ou équivalent)
 - Progression radiographique rapide (avec ou sans signes de maladie active), définie comme un changement du score de Sharp modifié par van der Heijde ≥ 5 points à 1 an.
 - Maladie bien contrôlée selon les normes ci-dessus, mais présentant toujours des symptômes de PR qui entraînent une réduction de la qualité de vie.
- La prise en charge des signes et/ou symptômes est perçue comme problématique par le rhumatologue et/ou le patient.

Les trois critères doivent être présents afin de définir une PR difficile à traiter.

*Sauf restriction d'accès au traitement due à des facteurs socio-économiques.

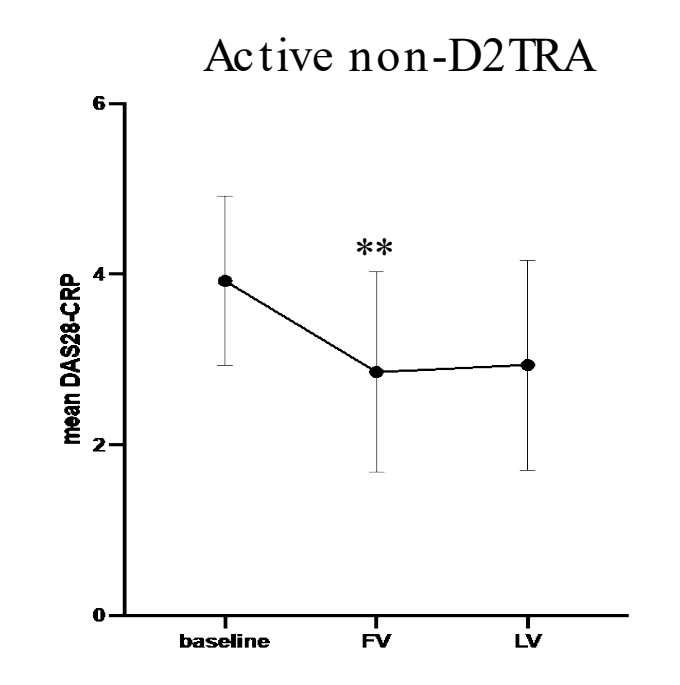
**Si le traitement par csDMARD est contre-indiqué, l'échec de ≥2 b/tsDMARD avec des mécanismes d'action différents est suffisant.

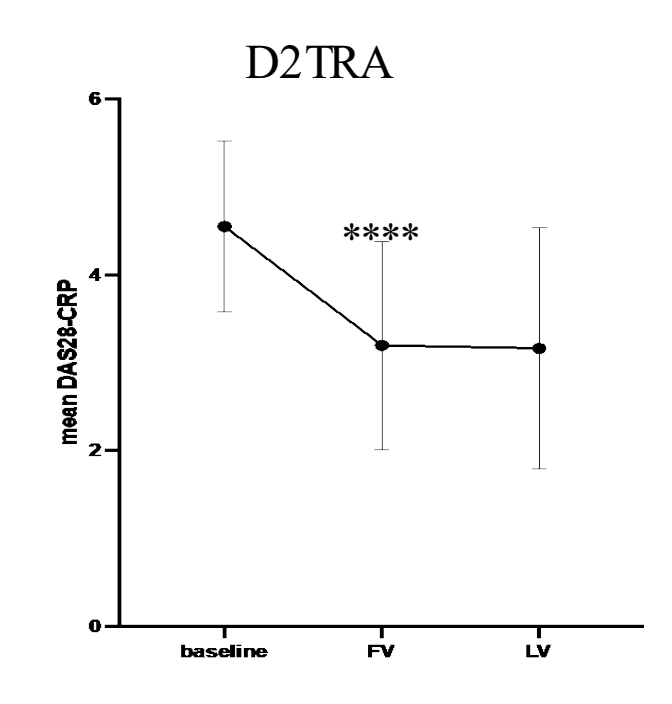
Différence entre les formes persistantes inflammatoires et non-inflammatoires



JAKi et polyarthrite difficile à traiter?

- ✓ Etude monocentrique observationnelle
- ✓ 83 PR sous JAKi (82% femmes)
- ✓ Durée moyenne maladie: 16 ans
- ✓ 45 D2TRA
 - ✓ Echec à au moins 2 traitements ciblés de mécanisme d'action différent
 - ✓ Signes objectifs d'activité de la maladie
- ✓ 29 non D2TRA avec signes objectifs d'activité
- ✓ 2 visites (une à 6 mois en une seconde finale à 15±10 mois)
- ✓ CJP: variation du DAS28 entre les 2 groupes





^{*}Ajustement sur âge, sexe, durée de la maladie, nombre d'articulations douloureuses à l'inclusion; nombre et durée d'exposition aux traitements ciblés antérieurs

Proportion de rémission / faible activité (DAS28 < 3,2)

D2TRA vs non -D2TRA actifs

- \checkmark Première visite: 63% vs. 68%, p=0,66
- ✓ Dernière visite: 52% vs. 57%, p=0,68



Etude CRI-RA

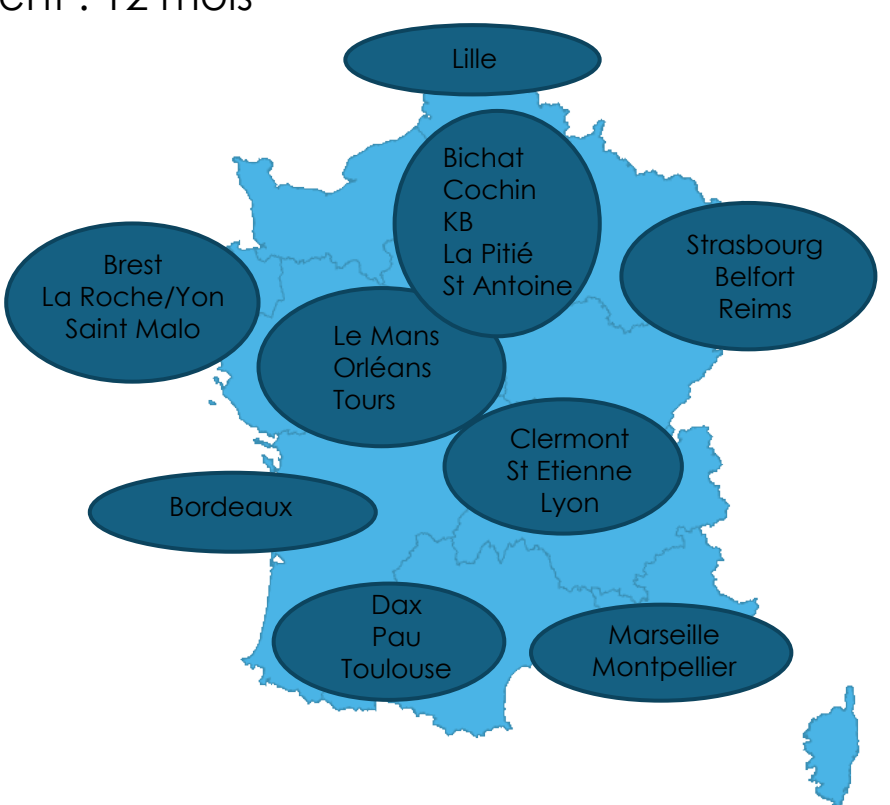
Efficacité et tolérance de la combinaison baricitinib/adalimumab vs. baricitinib seul dans le traitement de la polyarthrite rhumatoïde: essai clinique randomisé versus placebo de phase III

GENERALITES

Design général de l'étude :

- Phase 3 multicentrique comparatif de supériorité en double insu randomisé
- Durée de la période d'inclusion : 30 mois
- Durée de la participation par patient : 12 mois
- Durée de l'étude : 42 mois
- Nombre de patients : 178
 89 bras COMBI / 89 bras MONO

Nombre de centres : 25



Efficacy and safety of combination targeted therapies in immune-mediated inflammatory disease: the COMBIO study

Lucas Guillo ^{a,**,*}, Benoit Flachaire ^{b,**}, Jérôme Avouac ^c, Catherine Dong ^d, Maria Nachury ^e, Guillaume Bouguen ^f, Anthony Buisson ^g, Ludovic Caillo ^h, Mathurin Fumery ⁱ, Cyrielle Gilletta ^j, Xavier Hébuterne ^k, Pierre Lafforgue ^b, David Laharie ^l, Emmanuel Mahé ^m, Hubert Marotte ⁿ, Stéphane Nancey ^o, Sébastien Ottaviani ^p, Jean-Hugues Salmon ^q, Guillaume Savoye ^r, Mélanie Serrero ^a, Mathieu Uzzan ^s, Manuelle Viguier ^t, Christophe Richez ^u, Laurent Peyrin-Biroulet ^v, Philipe Seksik ^w, Thao Pham ^b, For the COMBIO Study Group ¹

	All (n=97)	1 refractory IMID (n=57)	2 related IMIDs (n=21)	2 unrelated IMIDs (n=19)	
Anti-TNF + JAKi, n (%)	22 (22.7)	21 (36.8)	- 15	1 (5.3)	
Anti-TNF + Anti-IL-23, n (%)	16 (16.5)	13 (22.8)	2 (9.5)	1 (5.3)	
Anti-TNF + Anti-IL-12/23, n (%)	11 (11.3)	-310	9 (42.9)	2 (10.5)	
Anti-TNF + Vedolizumab, n (%)	6 (6.2)	-	6 (28.6)	-	
Anti-TNF + Anti-IL4/13, n (%)	3 (3.1)		-	3 (15.8)	
Anti-TNF + Anti-CD20, n (%)	2 (2.1)	2 (3.5)	-	-	
Anti-TNF + IL-17, n (%)	1 (1.0)	-	-	1 (5.3)	
Anti-TNF + Anti-IgE, n (%)	1 (1.0)	-	-	1 (5.3)	
CTLA4-lg + JAKi, n (%)	5 (5.2)	5 (8.8)	- 0000000000000000000000000000000000000	-	
CTLA4-lg + Anti-IL-5, n (%)	1 (1.0)	-	-	1 (5.3)	
CTLA4-Ig + Anti-IL-6, n (%)	1 (1.0)	1 (1.8)	-	-	
Anti-CD20 + Anti-BAFF, n (%)	6 (6.2)	2 (3.5)	2 (9.5)	2 (10.5)	
Anti-CD20 + JAKi, n (%)	4 (4.1)	4 (7.0)	-	-	
Anti-CD20 + Anti-IL-6, n (%)	3 (3.1)	3 (5.3)	-	- 03	
Anti-CD20 + CTLA4-lg, n (%)	1 (1.0)	1 (1.8)	-	-	
Anti-CD20 + Anti-IL-17, n (%)	1 (1.0)	-	-	1 (5.3)	
Anti-IL-17 + Anti-IL-5, n (%)	3 (3.1)	- 11	-	3 (15.8)	
Anti-IL-17 + JAKi, n (%)	1 (1.0)	1 (1.8)	-	- 11 11 11 11 11 11 11	
Anti-IL-6 + JAKi, n (%)	2 (2.1)	2 (3.5)	-	- 117/11/11	
Anti-IL-6 + Anti-IL-5, n (%)	2 (2.1)	-	-	2 (10.5)	
Anti-IL-23 + JAKi, n (%)	2 (2.1)	1 (1.8)	1 (4.8)	-	
Anti-IL-12/23 + JAKi, n (%)	1 (1.0)	-	1 (4.8)		
Anti-IL-12/23 + Anti-IL-1, n (%)	1 (1.0)	-	-	1 (5.3)	
Anti-IL-1 + JAKi, n (%)	1 (1.0)	1 (1.8)	- 1181 18	-	

ABSTRACT NUMBER: 1460

Safety and Effectiveness of 97 Combinations of Targeted Therapies in Immune Mediated Inflammatory Diseases: Preliminary Data from the COMBATT Registry

Lou Kawka¹, Jacques-Eric Gottenberg², Jérôme Avouac³, OLIVIER BROCQ⁴, GILLES HAYEM⁵, Xavier Mariette⁶, Alain Meyer⁷, BENOIT FLACHAIRE⁸, OLIVIER FOGEL⁹, ARTHUR GANDIOLLE¹⁰, MANON LESTURGIE¹¹, JEAN-FRANCOIS KLEINMANN¹², Samira Ahmed Yahia¹³ and Thao Pham¹⁴, ¹Hôpital Universitaire de Strasbourg, Strasbourg, Alsace, France, ²Rheumatology Department, Strasbourg University Hospital,, Strasbourg, France, ³Rheumatology A Department, Hôpital Cochin, AP-HP Centre - Université Paris Cité, Paris, France, ⁴Service de Rhumatologie, centre hospitalier Princesse-Grâce, Monaco, Monaco, ⁵Groupe Hospitalier Paris Saint-Joseph, Paris, France, ⁶Service de Rhumatologie, Hôpital Bicêtre, AP-HP, Le Kremlin Bicetre, France, ⁷UR3072, Physiology Department, Rheumatology Department, University Hospital of Strasbourg, Strasbourg, France, ⁸Aix Marseille University, Marseille, France, ⁹AP-HP, Paris, France, ¹⁰Strasbourg University Hospital, Strasbourg, France, ¹¹Cochin hospital, Paris, France, ¹²Rheumatology department strasbourg, Strasbourg, France, ¹³Hôpital Universitaire de Strasbourg, Strasbourg, France, ¹⁴Assistance Publique-Hôpitaux de Marseille, Marseille, France

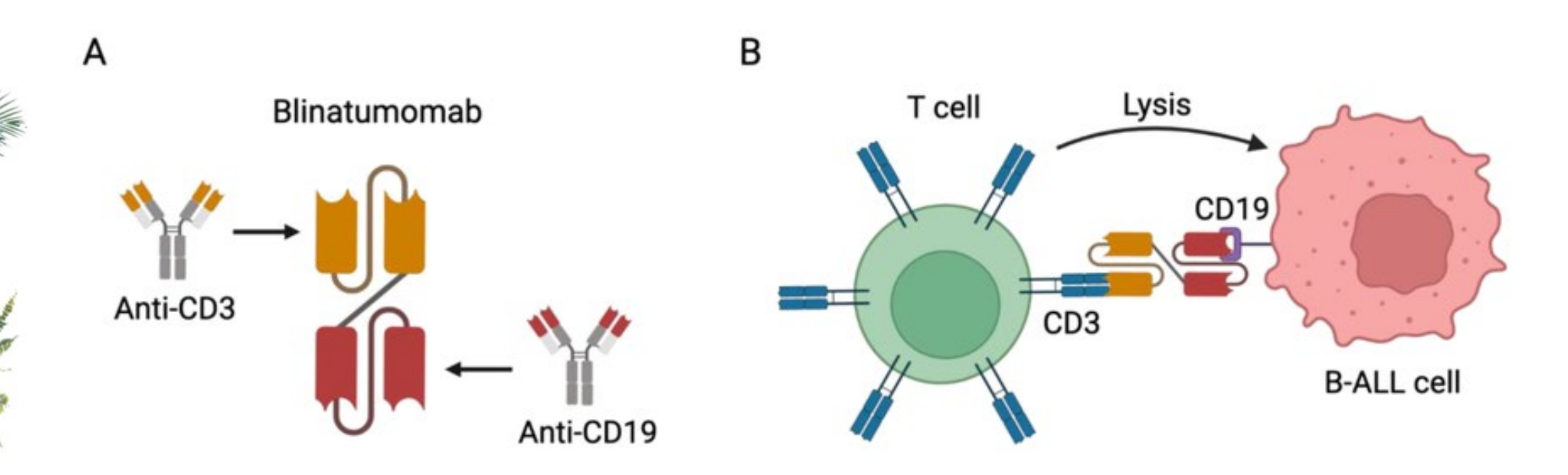
Meeting: ACR Convergence 2024

Parmi les 46 combinaisons pour 36 patients avec une IMID réfractaire et au moins une visite de suivi (médiane de 6 mois):

- ➤ 20 (43,5 %) ont été efficaces
- ➤ 6 (13,0 %) ont été partiellement efficaces
- ➤ 2 (4,3 %) ont été initialement efficaces, puis ont perdu leur efficacité.
- ➤ 16 (34,8 %) ont été inefficaces

12 événements indés irables graves sont survenus (19,6/100 PA): 9 infections sévères, 2 cytopénies, 1 VIE

Tcell engagers (Bites): blinatumomab



Article

https://doi.org/10.1038/s41591-024-02964-1

Bispecific T cell engager therapy for refractory rheumatoid arthritis

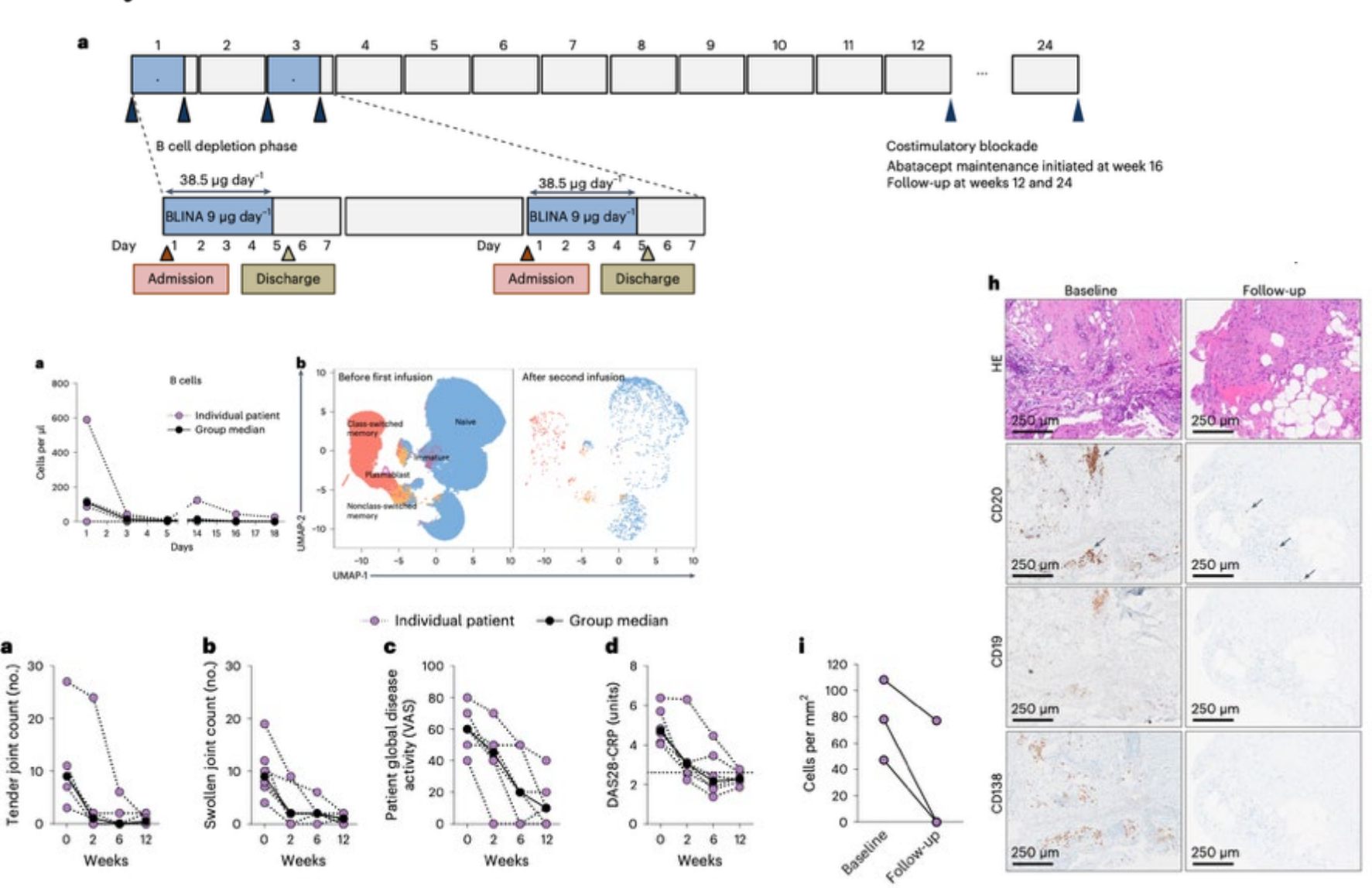


Table 1 | Baseline characteristics of refractory rheumatoid arthritis patients

Patient no.	1	2	3	4	5	6
Demographic characte	eristics					
Age (years)	55	48	51	31	60	55
Sex	М	F	F	F	М	М
Body mass index	28	33	23	25	35	21
Disease-specific chara	cteristic	es				
Disease duration (years)	6	4	27	6	18	3
DAS28 (units)	5.70	5.54	5.52	4.62	4.05	4.13
Tender joint count (no.)	27	11	3	9	7	9
Swollen joint count (no.)	10	12	19	4	2	7
Global activity (VAS) (mm)	81	72	47	62	51	61
Global pain (VAS) (mm)	62	60	41	56	58	61
Health assessment questionnaire (units)	1.75	1.38	1.75	1.0	1.5	1.75
ACPA (UI-1)	0.8	155	2	301	163	64
RF (Ul ⁻¹)	<5	417	165	18	222	64
CRP (mgl ⁻¹)	3.6	13.2	23.7	4.5	3.2	0.5
Previous antirheumati	c treatm	ents				
Methotrexate	+	+	+	+	+	+
Leflunomide	+	+	+	+	+	+
TNF inhibitor	+	+	+	+	+	+
IL-6 inhibitor	+	-	+	+	+	+
Upadacitinib	+	+	+			+
Baricitinib	+	-	+	+	+	+
Filgotinib	+	-	-		2	+
Tofacitinib	-	-	+		12	-
Abatacept	+	+	+	-	2	4
Rituximab	+	-	+	-	+	-
ast antirheumatic tre	atment					
Methotrexate	+	+	+	-	+	-
Filgotinib	+	-	-	+	-	+
Adalimumab	-	+	+	-	-	+
Rituximab	-	-	-	-		-

VAS, visual analog scale.

Synthèse

- - ➡╛Fσⅰ┪┪┱╝╇┪ҋӀӲ҈Ѿð╤▆╪┻┷╗҉Ӥ╤╪╼╝╕ӗ¾╪□
- **ਭ** গ্রাহি τ ³/ৡায় F → শুর্ম বি → শুর্ম ব
- ♣ 살redřeτ¾¾¾ ň 커뮤퀴 μἤμΑ α실
 - $\checkmark \Leftrightarrow \Box \ddot{1} \tau = 3 \frac{3}{4} 7 \frac{1}{4} 7 \frac{3}{4} 7 \frac{3}{4}$
 - ~ दे प्रचेष्ट प्रा. स्रीकृत कु १०० वि. सं प्रोत्मक सि र सूमिका
 - ✓ 4 FĬF¬ / 4 ð 3 / 4 ± ∂ x ± ©
- ** \$ 3/4 τ Ϊ Ιή Ϊ + τ & L ή i ή σ 3/4 -
 - E A THIE THE AT A THE AT A SAC THE TO THE AT THE AT
 - ⊈9¢ u ा में भें कें प्रे । देखे | Ï = 8ं ठे ¾ चि
 - ④ ¢ ΦΓ/ΦΓ³/45tt Į ΪσσΪϻ ε ΔΦ ∓σμων τημων ο ΔΦΕ υμομονομονομονονομονονομονονομονονομονονομονονομονονομονονομονονομονονομονονομο
- ♠ ॳ॒3/4 ॳॊ॔ ಈ F×3/ðňt ³/4¾³/4 Fðřðřð eð
 - ◆ \$\dagger* n \ \ \ \dagger* \dagger*
 - ◆ ♣Ï ↑ → 144 144